

بررسی تجربی و تحلیلی رفتار تیرهای بتن آرمه‌ی تقویت‌شده با تسمه‌های CFRP پیش‌تنیده به روش NSM*علی حاجی‌هاشمی^(۱) داود مستوفی‌نژاد^(۲) مجتبی ازهری^(۳)

چکیده مقاله‌ی حاضر تحقیقی است در مورد مقاوم‌سازی تیرهای بتنی با استفاده از تسمه‌های CFRP که در شیارهایی که از قبل در پوشش بتنی تیرها ایجاد شده‌اند کار گذاشته می‌شوند. این روش دارای مزایای بسیاری است و در مقایسه با روش چسباندن مصالح FRP روی سطح خارجی اعضای سازه‌ای، امکان انتقال مؤثرتر تنش‌های نرمال و برشی بین مقاوم‌کننده‌ها و سازه را فراهم می‌کند. در این مقاله مزایای این روش از نظر ظرفیت باربری، سرویس‌دهی و استفاده‌ی سطح بالاتر از ظرفیت مصالح FRP در مقایسه با شیوه‌ی معمول چسباندن این مصالح روی سطح اجزای سازه‌ای، از نظر تحلیلی و عملی، مورد بررسی قرار گرفته است. به این منظور پنج عدد تیر بتن مسلح ساده در آزمایشگاه سازه‌ی دانشگاه صنعتی اصفهان مورد آزمایش قرار گرفته‌اند. از این تعداد، یک تیر به صورت نمونه‌ی تقویت‌نشده (مبنا)، یک تیر به صورت تقویت‌شده‌ی غیر پیش‌تنیده، و سه نمونه‌ی دیگر به صورت تقویت‌شده‌ی پیش‌تنیده تا سطح پنج، بیست و سی درصد کرنش نهایی اسمی تسمه‌های CFRP مورد آزمایش قرار گرفته‌اند. نتایج آزمایش‌ها حاکی از آن است که تیرهای پیش‌تنیده مقادیر بالاتری از بار ترک خوردگی و بار تسلیم را در مقایسه با نمونه‌ی تقویت‌شده‌ی غیر پیش‌تنیده نشان می‌دهند. در این تحقیق بار ترک خوردگی در تیرهایی که تا سطح ۵، ۲۰ و ۳۰ درصد ظرفیت اسمی مصالح CFRP پیش‌تنیده شده‌اند، به ترتیب تا ۱۱۷، ۱۲۷/۵ و ۱۴۴/۵ درصد بار ترک خوردگی در نمونه‌ی مبنا افزایش یافتند. در کنار بار ترک خوردگی بالاتر، ترک‌های ایجادشده در نمونه‌های تقویت‌شده‌ی پیش‌تنیده، دارای عرض و توزیع محدودتر بوده‌اند. همچنین تیرهای تقویت‌شده‌ی پیش‌تنیده در مقایسه با نمونه‌ی غیر پیش‌تنیده دارای ظرفیت باربری نهایی بیش‌تری بوده و شکست آن‌ها متناظر با خیزهای کوچک‌تری بوده است؛ به طوری که ظرفیت باربری نهایی در تیرهایی که تا سطح ۵، ۲۰ و ۳۰ درصد ظرفیت اسمی مصالح CFRP پیش‌تنیده شده‌اند، به ترتیب ۱۱/۵، ۱۴/۷ و ۱۵/۰ درصد نسبت به نمونه‌ی مبنا افزایش یافتند.

واژه‌های کلیدی تیر بتن مسلح، مقاوم‌سازی، مصالح CFRP، روش NSM، پیش‌تنیدگی، خدمت‌پذیری.

Experimental and Analytical Investigation of Behavior of RC Beams Strengthened by Prestressed CFRP Straps using NSM Method

A. Hajjhashemi D. Mostofinejad M. Azhari

Abstract The current study is focused on strengthening of reinforced concrete (RC) beams using CFRP straps installed in pre-cut grooves. The method which is referred as near surface mounted (NSM) benefits considerable advantages in comparison with the conventional externally bonded reinforcement (EBR) method and provides better normal and shear stress transfer between the FRP and concrete substrate. The advantages of NSM method compared to EBR are investigated in this paper from viewpoints of loading capacity, serviceability and better use of FRP materials. Five simply-supported RC beams were cast and tested in the laboratory of Department of Civil Engineering of Isfahan University of Technology (IUT). One of the beams was un-strengthened (base specimen) while one was strengthened without prestressing and the other three were strengthened with CFRP straps with prestress up to 5, 20, and 30 percents of the nominal capacity of the composite. The results revealed that the prestressed beams show higher values of cracking and yield loads compared to strengthened specimen without prestressing. The cracking loads for the specimens with 5, 20, and 30 percents prestressing were respectively 117%, 127.5%, and 144.5% higher than that of base specimen; while the cracks in prestressed strengthened specimens were more limited with smaller crack width. Furthermore, the strengthened beams by prestressed CFRP had higher ultimate loading capacities and their failures happened at smaller deflections. The ultimate loads for the specimens strengthened by CFRP prestressed up to 5, 20, and 30 percents of their ultimate capacity were 11.5%, 14.7%, and 15% higher, respectively, compared with that of base specimen.

Keywords RC Beam, Strengthening, CFRP Composite, Prestressing, NSM Method, Serviceability.

★ تاریخ دریافت مقاله ۹۱/۱/۲۲ و تاریخ پذیرش آن ۹۱/۸/۲۰ می‌باشد.

(۱) دانش آموخته‌ی کارشناس ارشد مهندسی سازه، دانشگاه صنعتی اصفهان.

(۲) نویسنده‌ی مسؤل: استاد دانشکده‌ی مهندسی عمران، دانشگاه صنعتی اصفهان.

(۳) استاد دانشکده‌ی مهندسی عمران، دانشگاه صنعتی اصفهان.

مقدمه

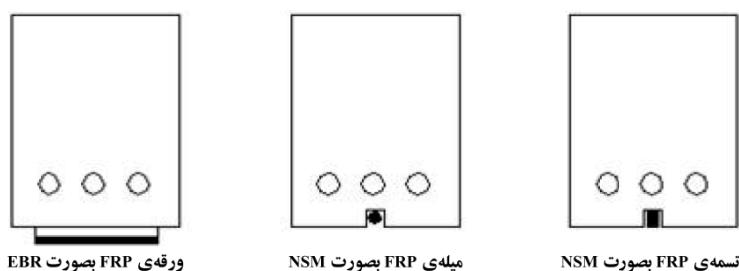
در سراسر دنیا سازه‌هایی وجود دارند که برای سکونت یا حمل و نقل مورد استفاده قرار می‌گیرند. این سازه‌ها دارای تنوع در کیفیت و عملکرد می‌باشند، ولی همگی در طول زمان دچار فرسودگی و تخریب می‌شوند [1]. تغییر یک سازه‌ی بتن آرمه وقتی لازم می‌شود که اعضای سازه‌ای آن قادر به تأمین مقاومت یا سرویس‌دهی لازم نباشند. در عمل این موقعیت هنگامی به وقوع می‌پیوندد که سازه‌های بتن آرمه‌ی موجود یا بعضی از اجزای آن‌ها، نیازمند مقاوم‌سازی تشخیص داده شوند. این وضعیت نامناسب ممکن است به دلیل آسیب‌های فیزیکی، تغییر کاربری، خوردگی آرماتورها یا خطاهای به وجود آمده در زمان طراحی یا اجرا، حادث شده باشد [2].

استفاده از «مواد الیافی پلیمری مسلح شده (FRP)» برای تعمیر و مقاوم‌سازی سازه‌ها به‌طور پیوسته در سال‌های اخیر افزایش یافته است. این امر به دلیل برتری‌های متعدد این کامپوزیت‌ها در مقایسه با مصالح سنتی حادث شده است. این مزایا عبارت از وزن کم، راحتی در نصب، دوام و مقاومت کششی بالا، خستگی بودن الکترومغناطیسی و دست‌رسی نامحدود در اندازه، شکل و ابعاد هستند [3].

به‌طور کلی FRP از دو جزء تشکیل شده است؛ جزء اول که قسمت باربر FRP محسوب می‌شود، الیاف هستند. این الیاف کاملاً الاستیک رفتار می‌کنند، شکننده هستند و مقاومت کششی بسیار بالایی دارند. قطر این الیاف بسته به نوع آن‌ها در محدوده ۵ تا ۲۵ میکرون قرار دارد. جنس الیاف می‌تواند از شیشه، کربن، آرامید یا وینیل باشد [4]. جزء دوم ساختار FRP

چسب یا رزین است. این جزء به‌عنوان یک محیط چسبنده الیاف را در کنار هم نگاه می‌دارد. ورقه‌های FRP عموماً بر روی سطح المان‌هایی که لازم است مقاوم شوند، به کار می‌روند. این روش با عنوان «تسلیح با اتصال خارجی (EBR)» شناخته می‌شود. تحقیقاتی که تاکنون انجام گرفته‌اند، نشان می‌دهند که در این روش، به‌علت جداسازی پیش از موعد، استفاده از کل مقاومت کششی مصالح FRP امکان‌پذیر نمی‌باشد [3]. برای بالا بردن کارایی روش EBR، سیستم‌های مهارکننده‌ی متفاوتی ارائه شده است [5]. از آن‌جایی که در روش EBR مصالح FRP در سطوح خارجی نمایان هستند، عملکرد مسلح‌کنندگی این کامپوزیت‌ها می‌تواند تحت تأثیر اثرات منفی سیکل‌های یخ زدن و ذوب شدن قرار بگیرد؛ هم‌چنین سیستم‌های EBR ممکن است در معرض حرکت‌های خراب‌کارانه قرار گیرند [6].

برای غلبه بر این ضعف‌ها تلاش‌های متعددی صورت گرفته‌اند که یکی از قابل قبول‌ترین آن‌ها روش «نصب در نزدیک سطح (NSM)» می‌باشد. مبنای روش NSM قرار دادن میله یا تسمه‌های FRP در شیارهای ایجادشده در سطح بتن می‌باشد (شکل ۱). ایده‌ی قرار دادن مسلح‌کننده‌ها در پوشش بتنی به‌منظور مقاوم‌سازی، کشف جدیدی به‌شمار نمی‌آید. اولین کاربرد این ایده در دهه‌ی ۱۹۵۰ در شمال سوئد صورت گرفت؛ جایی که نیاز بود تا دال یک پل در قسمت لنگر منفی مقاوم‌سازی شود. بدین‌منظور آرماتورهای فولادی در پوشش بتنی جای‌گذاری شدند و با ملات سیمان چسبانده شدند [7].



شکل ۱ مقایسه‌ی شماتیک روش‌های EBR و NSM [8]

خراب کارانه را در پی دارد.

۵- این روش می تواند برای مقاوم سازی در نواحی لنگر منفی در دال ها و عرشه ها بسیار مورد توجه باشد؛ جایی که مسلح کننده های EBR در معرض آسیب های مکانیکی و محیطی قرار می گیرند و نیاز به پوشش های محافظ دارند.

اما مهم ترین مزیت مسلح کننده های NSM را در مقایسه با ورقه های EBR می توان در بالا بودن انتقال نیرو جستجو نمود. هم چنین تحقیقات انجام شده نشان می دهد که رفتار بلندمدت سازه های مقاوم شده به روش NSM بسیار مطلوب می باشد [11]. نکته ی قابل توجه این است که بریدن شیارها فقط برای سازه های امکان پذیر است که دارای عمق کافی از سطح تا آرماتورهای فولادی باشند. باید به یاد داشت که ضخامت پوشش بتنی بستگی دارد به دقت نیروی کار در زمان ساخت سازه، نه به آئین نامه های مورد استفاده. در هر صورت به نظر می رسد که این روش برای سازه های خارجی نظیر پل ها مناسب تر است تا سازه های داخلی که از پوشش بتن کمتری برخوردارند [12].

بررسی مطالعات انجام شده نشان می دهد که روش NSM FRP برای مقاوم سازی انواع سازه های بتن مسلح از جمله مقاوم سازی خمشی تیرها [6,12]، مقاوم سازی برشی تیرها [9,13]، مقاوم سازی ستون ها [14] و مقاوم سازی دال ها [15] بسیار کارا و مفید است و مزایای بسیاری نسبت به روش FRP EBR دارد. هم چنین رفتار بلندمدت سازه های مقاوم شده به روش NSM [11] بسیار مطلوب می باشد. استفاده از روش NSM FRP برای مقاوم سازی سازه های بنایی [14,16] نیز بسیار مفید گزارش شده است. از موارد مهم در بررسی تیرهای تقویت شده با FRP پیش تنیده در روش NSM، طول انتقال نیروی پیش تنش است که باید به طور اساسی مورد توجه قرار گیرد [17].

مقاوم سازی با استفاده از مصالح FRP پیش تنیده
در مقاوم سازی سازه های بتنی با مصالح FRP غیر

اجرای روش NSM شامل مراحل می باشد؛ ابتدا شیاری در راستای مورد نظر در سطح بتن ایجاد می شود. اندازه ی این شیار باید طوری باشد که در اطراف مسلح کننده ها فضای کافی برای ایجاد چسبندگی مناسب وجود داشته باشد. سپس شیار تا نیمه با چسب اپوکسی پر می شود و مصالح مقاوم کننده درون آن قرار می گیرد و به آهستگی فشار داده می شوند. این فشار باعث نفوذ چسب به اطراف مصالح مقاوم کننده و گوشه های شیار می شود. سپس شیار با چسب بیشتری پر می شود و سطح با برداشتن مواد اضافی هم سطح می گردد [9].

برای کاربرد به عنوان مسلح کننده NSM، FRP دارای مزیت هایی نسبت به فولاد می باشد. این مزیت ها شامل مقاومت بهتر در برابر خوردگی، راحتی و سرعت اجرای بالاتر به خاطر سبک وزن بودن و بهینه بودن عملیات اجرای شیار می باشد. به جهت مقاومت کششی بالای مصالح FRP می توان از میله های با قطر کوچک برای نیروی کششی خواسته شده استفاده کرد که این امر کاهش اندازه ی شیارها را در پی دارد [10]. در مقایسه با روش EBR، روش NSM دارای مزایای متعددی می باشد که از آن جمله می توان به موارد زیر اشاره نمود [10]:

۱- حجم عملیات اجرایی، به دلیل عدم نیاز به آماده سازی سطح، کاهش می یابد. تنها عملیات ایجاد شیار در سطح بتن مورد نیاز است.
۲- مسلح کننده های NSM بسیار کمتر در معرض جداشدگی پیش از موعد خواهند بود.
۳- مهار کردن مسلح کننده های NSM در سطوح جانبی اعضای مقاوم شونده به راحتی امکان پذیر است. این امر به خصوص در مقاوم سازی خمشی تیرها و ستون ها در قاب های خمشی، که در آن لنگر حداکثر عموماً در نواحی انتهایی اعضا مشاهده می شود، سودمند خواهد بود.

۴- مسلح کننده های NSM به وسیله ی پوشش بتنی حفاظت می شوند که این امر کاهش خطرات ناشی از ضربه، آسیب های مکانیکی، آتش و حرکات

پیش‌تنیده معمولاً دو عامل محدودکننده مانع استفاده حداکثری از ظرفیت مصالح مقاوم‌کننده خواهند شد؛ نخست، کرنش در میلگردهای فولادی و دوم، مقاومت فشاری در بتن.

به بیان دیگر، با این‌که مصالح مقاوم‌کننده قسمت اعظم بارهای وارد را تحمل می‌کنند، اما ممکن است فولادها دچار تسلیم شوند یا بتن در ناحیه‌ی فشاری خرد شود. این روند استفاده سطح پایینی از قابلیت مصالح FRP را در پی دارد و این کاربرد ناکامل از مصالح FRP باعث بالا رفتن هزینه‌های پروژه می‌گردد. بنابراین در بعضی موارد برداشتن بار از روی سازه یا حتی اعمال بار در جهت مخالف، قبل از مقاوم‌سازی، می‌تواند بسیار سودمند باشد. اما این کار همیشه قابل انجام نیست. در حالت دیگر اگر بتون مصالح FRP را پیش‌تنیده نمود، تنش در فولاد و بتن کاهش می‌یابد و از ظرفیت مصالح FRP استفاده‌ی مؤثرتری می‌شود. به‌علاوه سازه در طول بارگذاری دچار تغییر شکل‌های کوچک‌تری می‌گردد [18]. به‌عبارت دیگر، مصالح FRP غیر پیش‌تنیده تنها می‌توانند در تحمل بارهای زنده‌ی اضافه‌شونده به سازه دخالت داشته باشند و در تحمل بارهای مرده که بطور پیوسته و پیش از مقاوم‌سازی بر سازه اعمال می‌شده‌اند، نقشی ندارند. برای بهبود کارایی مقاوم‌سازی و استفاده کامل از ظرفیت مصالح FRP، می‌توان این مصالح را پیش‌تنیده نمود [18].

استفاده از مصالح FRP پیش‌تنیده در وجه کششی یک تیر بتنی نه تنها تامین‌کننده‌ی محدودیت‌های بسیار خوبی برای ترک‌ها و تغییر شکل‌ها می‌باشد، بلکه دوام سازه‌ی بتنی را نیز بهبود می‌بخشد؛ زیرا این دوام به طور مستقیم با عرض ترک‌ها و گسترش آنها در طول زمان در ارتباط است [19]. در نهایت، می‌توان گفت که مصالح FRP پیش‌تنیده می‌توانند مقاومت نهایی المان مقاوم‌شونده را بوسیله‌ی جلوگیری از وقوع حالت‌های شکست پیش از موعد (Premature Failure Modes)، افزایش دهند.

به طور کلی، مزایای استفاده از مصالح FRP

پیش‌تنیده را به شرح زیر می‌توان بیان نمود [18]:
۱- استفاده‌ی بهتر از قابلیت‌های مصالح مقاوم‌کننده.

۲- ایجاد ترک‌هایی با عرض کمتر و توزیع بهتر در بتن.

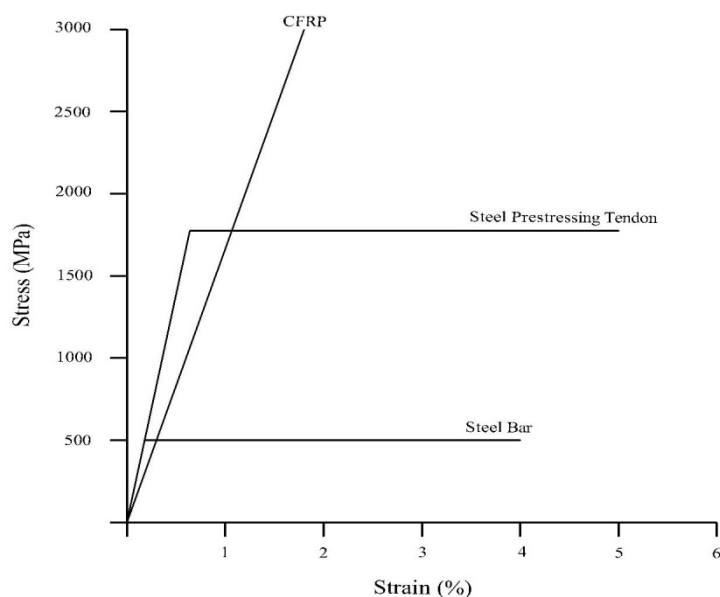
۳- باربرداری از مسلح‌کننده‌های فولادی.

۴- بالا رفتن مقدار باری که منجر به تسلیم فولادها می‌شود، که این امر را می‌توان مهم‌ترین مزیت استفاده از مصالح مقاوم‌کننده پیش‌تنیده دانست.

یک تیر مقاوم شده با مصالح FRP غیر پیش‌تنیده دارای بار ترک خوردگی تقریباً برابر با تیر مقاوم نشده است؛ در حالی که این معیار در تیری که با مصالح FRP پیش‌تنیده مقاوم شده باشد، به دو برابر می‌رسد. هم‌چنین تاثیر مقاوم‌سازی در مورد باری که منجر به تسلیم آرماتورهای فولادی می‌شود، برای مصالح مقاوم‌کننده‌ی پیش‌تنیده در مقایسه با مصالح مقاوم‌کننده‌ی غیر پیش‌تنیده تقریباً دو برابر می‌باشد [19].

با این وجود به کار بردن مصالح FRP پیش‌تنیده دارای نقطه ضعفی نیز می‌باشد. همان‌طور که در شکل (۲) نشان داده شده است، به دلیل رفتار الاستیک خطی مصالح FRP و اینکه قسمتی از ظرفیت کرنشی این مواد در طول پیش‌تیدگی مورد استفاده قرار می‌گیرد، سازه‌ی مقاوم شده با مصالح FRP پیش‌تنیده شاهد تغییر شکل‌های کوچک‌تری نسبت به سازه‌ی مقاوم شده با مصالح غیر پیش‌تنیده خواهد بود [19].

تحقیقات انجام شده در زمینه‌ی مقاوم‌سازی با مصالح FRP پیش‌تنیده، عمدتاً با استفاده از ورقه‌های FRP و به‌روش EBR انجام شده‌اند. در این خصوص می‌توان به مطالعاتی در زمینه‌ی حالت‌های شکست [21]، رفتار کوتاه‌مدت مصالح FRP پیش‌تنیده [22]، مقاوم‌سازی خمشی تیرها [23]، سیستم‌های مختلف اعمال پیش‌تیدگی [19]، و بررسی رفتار تیرهای پیش‌تنیده با مصالح FRP در شرایط دمایی مختلف [24] اشاره نمود. هم‌چنین استفاده از تسمه‌های پیش‌تنیده FRP EBR در جهت مقاوم‌سازی تیرهای بتنی [25] نیز مورد بررسی قرار گرفته است.



شکل ۲ نمودار تنش - کرنش برای فولاد و CFRP [20]

ورقه‌های پیش‌تنیده‌ی FRP می‌باشد که لازم است به‌منظور جلوگیری از جدا شدن ورقه‌ها در نواحی انتهایی، آن‌ها را مهار نمود. در این زمینه تلاش‌های متعددی صورت گرفته است که از آن جمله می‌توان به استفاده از انواع سیستم‌های مهار مکانیکی [19,28,29]، اعمال تدریجی نیروی پیش‌تیدگی [25] و کاهش لایه‌های FRP در نواحی انتهایی [30] اشاره نمود.

در خصوص مقاوم‌سازی تیرهای بتن مسلح با استفاده از مصالح پیش‌تنیده‌ی FRP که به روش NSM استفاده شده‌اند، معدود تحقیقات انجام‌شده [12,18] نشان می‌دهند استفاده از روش NSM به‌خوبی مانع جداشدگی پیش از موعد در نواحی انتهایی، که در استفاده از ورقه‌های پیش‌تنیده مشکل ساز است، می‌گردد. هم‌چنین استفاده از مصالح پیش‌تنیده‌ی NSM FRP باعث افزایش چشم‌گیر در مقادیر بار ترک خوردگی و بار تسلیم و کاهش عرض ترک‌ها نسبت به نمونه‌ی غیر پیش‌تنیده می‌گردد و در بهبود سرویس‌دهی تیرهای تقویت شده بسیار سودمند است. از آن‌جا که در تحقیقات محدود موجود به‌منظور

نتایج این تحقیقات نشان دهنده‌ی افزایش سختی و ظرفیت باربری نهایی در نمونه‌های پیش‌تنیده نسبت به نمونه‌های غیر پیش‌تنیده می‌باشد. بررسی دال‌های آسیب‌دیده‌ی بتنی که با مصالح پیش‌تنیده‌ی CFRP تقویت شده بودند [26] نیز نشان داد که نمونه‌های تقویت شده با ورقه‌های پیش‌تنیده CFRP دارای ظرفیت باربری بالاتر و تغییر شکل‌های کوچک‌تری در مقایسه با نمونه‌ی تقویت‌شده‌ی غیر پیش‌تنیده هستند. هم‌چنین گزارش‌های منتشر شده [21] نشان می‌دهد که پیش‌تنیده نمودن ورقه‌های FRP با ایجاد عکس‌العمل فشاری در کف تیرهای بتنی، باعث محصورشدگی بتن در این ناحیه می‌شود و در نتیجه با کاهش تعداد ترک‌های برشی از وقوع شکست برشی در تیرها جلوگیری می‌نماید. یکی از مهم‌ترین مزایای مقاوم‌سازی سازه‌های بتن مسلح با مصالح پیش‌تنیده، کاهش تنش موجود در فولادهای کششی و بهبود رفتار خستگی این اجزا در سازه می‌باشد [21,27].

در عین حال، مهار ناحیه‌ی انتهایی یکی از بزرگ‌ترین مشکلات در مقاوم‌سازی سازه‌های بتنی با

قطر $\Phi 10$ در فواصل ۷۵ میلی‌متری در طول تیر استفاده گردید. هم‌چنین به منظور حصول پوشش بتنی لازم جهت ایجاد شیار و مقاوم‌سازی تیر به روش NSM، عمق پوشش بتنی در تمام وجوه مقطع برابر ۳۰ میلی‌متر انتخاب و در نتیجه عمق مؤثر مقطع $d=300\text{mm}$ در نظر گرفته شد. طرح نهایی برای ساخت نمونه‌ها در شکل (۳) مشاهده می‌گردد.

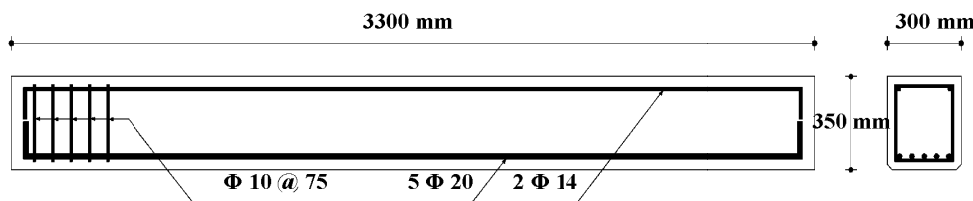
تعداد نمونه‌ها طوری انتخاب شدند که در کنار یک نمونه‌ی مقاوم‌نشده (مبنا)، یک نمونه‌ی مقاوم‌شده‌ی غیر پیش‌تنیده و سه نمونه‌ی مقاوم‌شده با مقادیر مختلف نیروی پیش‌تنیدگی مورد بررسی قرار گیرند. لذا نسبت به ساخت پنج عدد تیر بتنی با مشخصات یکسان، اقدام گردید. به‌منظور سهولت در شناسایی هر نمونه در مراحل بعد از یک سیستم نام‌گذاری دو جزئی استفاده گردید. بدین ترتیب که جزء اول مشخص‌کننده‌ی مقاوم ساختن و یا نساختن نمونه می‌باشد که در آن از NS (Not-Strengthened) برای نمونه‌های مقاوم‌نشده، و از حرف S (Strengthened) برای نمونه‌های مقاوم‌شده استفاده شده است. جزء دوم نیز نشان‌دهنده‌ی اعمال شدن یا نشدن پیش‌تنیدگی بر نمونه می‌باشد و هم‌چنین سطح پیش‌تنیدگی را در نمونه‌های پیش‌تنیده مشخص می‌سازد. بر این اساس NP نمایش‌دهنده‌ی نمونه‌های غیر پیش‌تنیده (Non Prestressed) و Pn نشان‌دهنده‌ی نمونه‌ی پیش‌تنیده (Prestressed) با اعمال میزانی از نیروی پیش‌تنیدگی است که در تسمه‌های CFRP کرنش پیش‌تنیدگی معادل n درصد کرنش نهایی اسمی تسمه‌ها را ایجاد می‌کند. میزان نیروی پیش‌تنیدگی اولیه برای سه نمونه‌ی پیش‌تنیده مقداری انتخاب گردید که متناظر با آن در تسمه‌های CFRP کرنش پیش‌تنیدگی برابر ۵، ۲۰ و ۳۰ درصد کرنش نهایی اسمی آن‌ها ایجاد شود. در نهایت جدول (۱) نحوه‌ی نام‌گذاری هریک از نمونه‌ها را براساس ویژگی‌های آن نشان می‌دهد.

بررسی تحلیلی و آزمایشگاهی تیرهای بتن آرمه‌ی تقویت‌شده با مصالح پیش‌تنیده‌ی FRP، تأثیر بر بار ترک‌خوردگی و بارهای سرویس مورد مطالعه قرار نگرفته است [31]، تحقیق حاضر به این مهم پرداخته است.

روش انجام تحقیق

همان‌طور که توضیح داده شد، استفاده از مصالح FRP پیش‌تنیده می‌تواند به‌عنوان شیوه‌ای کارآمد در مقاوم‌سازی سازه‌های بتن مسلح مورد استفاده قرار گیرد. در این تحقیق ابتدا سعی می‌شود تا با ارائه‌ی یک شیوه‌ی تحلیلی، رفتار تیرهای بتن مسلح تقویت‌شده به این روش مورد ارزیابی قرار گیرد. سپس با توجه به نتایج حاصل از آزمایش‌های انجام‌شده، رفتار خمشی تیرهای تقویت‌شده با تسمه‌های پیش‌تنیده‌ی NSM که تا سطوح مختلفی پیش‌تنیده شده‌اند، مورد بررسی قرار می‌گیرد و به‌خصوص درباره‌ی رفتار این تیرها در ناحیه‌ی سرویس، و مقایسه‌ی این نتایج با رفتار نمونه‌ی تقویت‌شده‌ی غیر پیش‌تنیده و نمونه‌ی مبنا (تقویت‌نشده)، بحث می‌شود.

به این منظور نمونه‌هایی در مقیاس واقعی (Full Scale) و به ابعاد $3200 \times 350 \times 300$ میلی‌متر با استفاده از بتن معمولی با نسبت آب به سیمان $0/41$ و با عیار سیمان ۳۸۰ ساخته شدند که البته دهانه‌ی خالص تیرها بین دو تکیه‌گاه ۳۰۰۰ میلی‌متر می‌باشد. هم‌چنین برای دستیابی به مقطع با رفتار نرم (under-reinforced) و با توجه به سازه‌های بتنی متداول، مقدار درصد فولاد مقطع برابر با $0/5\rho_b$ انتخاب شد و از پنج عدد میلگرد $\Phi 20$ به‌عنوان فولاد کششی مقطع در تمام طول تیر استفاده گردید. فولاد گذاری فشاری نیز به‌صورت دو عدد میلگرد $\Phi 14$ انتخاب گردید. پس از آن فولادهای برشی تیر با هدف اطمینان از عدم وقوع شکست برشی در تیر طراحی و از خاموت 290×240 میلی‌متر و با



شکل ۳ میلگردگذاری تیرهای بتن آرمه در تحقیق حاضر

جدول ۱ نام گذاری نمونه‌ها با توجه به مشخصات هر نمونه

نام نمونه	شرح
NS-NP	نمونه‌ی مینا (تقویت نشده)
S-NP	نمونه‌ی تقویت شده با تسمه CFRP به روش NSM بدون پیش تنیدگی
S-P5	نمونه‌ی تقویت شده با تسمه‌ی CFRP به روش NSM با کرنش پیش تنیدگی ۰/۰۰۰۹ (۵ درصد کرنش نهایی)
S-P20	نمونه‌ی تقویت شده با تسمه‌ی CFRP به روش NSM با کرنش پیش تنیدگی ۰/۰۰۳۵ (۲۰ درصد کرنش نهایی)
S-P30	نمونه‌ی تقویت شده با تسمه‌ی CFRP به روش NSM با کرنش پیش تنیدگی ۰/۰۰۵۵ (۳۰ درصد کرنش نهایی)

آزمایش‌های استاندارد [32] ACI 209 برابر با 31 MPa f_c' ، تنش تسلیم میلگردهای کششی بر مبنای استاندارد ASTM A370 [۳۳] برابر با 423 MPa f_y و مقدار کرنش تسلیم آن‌ها برابر 0.002 ϵ_y و مدول الاستیسیته 21050 MPa E_s تعیین شد. مطابق کاتالوگ شرکت سازنده، تسمه‌ی کامپوزیتی دارای مقاومت کششی نهایی اسمی 2300 MPa f_u و مقدار کرنش نهایی اسمی 0.18 ϵ_u و مدول الاستیسیته 140 GPa E_F می‌باشد؛ اگرچه در آزمایشگاه، مقدار تنش نهایی (گسیختگی) برای تسمه‌ی CFRP مورد استفاده براساس استاندارد ASTM D3039 [34] برابر با 2066 MPa f_u و مقدار کرنش نهایی آن برابر 0.15 ϵ_u و مدول الاستیسیته 140 GPa E_F اندازه‌گیری شد. مقاومت برشی چسب اپوکسی پس از حدود چهار روز از زمان اختلاط و در دمای معمولی حدود 25 MPa و مدول الاستیسیته‌ی آن 12.8 GPa می‌باشد.

بارگذاری نمونه‌ها به صورت سه نقطه‌ای (دو تکیه‌گاه مفصلی در طرفین و اعمال بار متمرکز در وسط دهانه) می‌باشد که بدین منظور از دستگاه بارگذاری موجود در آزمایشگاه سازه‌ی دانشکده‌ی مهندسی عمران دانشگاه صنعتی اصفهان استفاده شده

در این تحقیق به منظور تقویت نمونه‌ها از یک تسمه‌ی پیش ساخته (prefabricated) از جنس الیاف کربن و با نام تجاری «Carbopree H25 x2» محصول کارخانه‌ی «Sireg» ایتالیا استفاده شد. این پروفیل مستطیلی دارای ابعاد 25×2 میلی‌متر (با سطح مقطع خالص 50 میلی‌متر مربع) می‌باشد و پوششی سطحی از ماسه (Sand coat) دارد. چسب مورد استفاده در این تحقیق از نوع چسب اپوکسی دو جزئی با نام تجاری «Sikadur-30» و محصول کارخانه‌ی Sika سوئیس می‌باشد. چسب قابل استفاده از مخلوط کردن جزء سفید رنگ A و جزء سیاه رنگ B با نسبت وزنی یا حجمی ۳ به ۱ به دست می‌آید. برای پیش تنیده کردن تسمه‌های FRP، ابتدا شیار ایجاد شده با چسب اپوکسی پر شده و بلافاصله تسمه در داخل آن قرار گرفت. سپس تسمه از یک طرف توسط مهار فولادی مخصوص ثابت شد و از طرف دیگر توسط دستگاه کشش تحت نیروی کششی تا حد مورد نظر قرار گرفت. این نیرو تا زمان کسب سختی لازم توسط چسب (حدود ۳ روز)، ثابت نگه داشته شد.

براساس آزمایش‌های جنبی صورت گرفته، مقاومت فشاری 28 روزه‌ی بتن مصرفی بر مبنای

لحظه‌ی اعمال کشش شروع شد و تا پایان آزمایش اصلی ادامه داشت؛ به طوری که متوقف کردن کشیدن تسمه‌ها براساس نشان داده شدن مقدار کرنش پیش‌تیندگی موردنظر توسط این کرنش‌سنج‌ها بود و پس از ثابت شدن نیروی کشش نیز مقادیر این کرنش‌سنج‌ها در تمام طول زمان گیرش چسب ادامه پیدا کرد و تا مهم‌ترین قسمت آن یعنی زمان باز کردن دستگاه کشش و وقوع افت‌های احتمالی ادامه یافت. پس از آن‌که انتقال نیرو از تسمه به بتن صورت پذیرفت، بارگذاری اصلی بر روی نمونه آغاز شد که در طول آزمایش تا لحظه‌ی شکست نهایی نیز مقادیر این کرنش‌سنج‌ها ثبت گردید. برداشت مقادیر مربوط به عرض و عمق ترک‌ها در مقادیر مختلف بارگذاری به‌همراه ثبت بار متناظر با ایجاد هر ترک و شماره‌گذاری ترک‌ها به‌ترتیب پیدایش نیز از دیگر اطلاعات جمع‌آوری شونده در طول آزمایش بود.

ارزیابی تحلیلی

با رسم منحنی لنگر- انحنای برای مقطع بحرانی تیر، می‌توان کلیه‌ی رفتارهای خمشی آن را نظیر مقاومت، تغییر شکل، شکل‌پذیری و ترک‌خوردگی مورد ارزیابی قرار داد. در این تحقیق به‌منظور ترسیم منحنی $M-\square$ برای هر یک از نمونه‌ها، مقادیر لنگر (M) و انحنای (\square) برای مقطع بحرانی تیر (مقطع وسط دهانه) در چندین تراز مختلف محاسبه می‌گردد.

لحظه‌ی اعمال پیش‌تیندگی. بلافاصله پس از آزاد کردن دستگاه کشش، یک نیروی متمرکز فشاری در محل مرکز سطح مصالح CFRP به مقطع وارد می‌شود. از آنجایی که مقدار پیش‌تیندگی اعمالی در این تحقیق براساس میزان کرنش پیش‌تیندگی (ϵ_{0f}) مشخص می‌شود، در نتیجه مقدار نیروی پیش‌تیندگی برابر خواهد بود با،

$$P = A_f E_f \epsilon_{0f} \quad (1)$$

است. این دستگاه از یک قاب باربر، یک جک قائم با ظرفیت ۲۵۰۰ کیلو نیوتن و یک سیستم هیدرولیک تشکیل شده است (شکل ۴). هم‌چنین به‌منظور اندازه‌گیری اطلاعات مورد نیاز در طول آزمایش از تعدادی نیروسنج (Load Cell)، جابه‌جایی‌سنج (LVDT)، و کرنش‌سنج (Strain Gauge) که در نقاط مختلف تیر نصب می‌شوند، استفاده خواهد شد.

در آزمایش کلیه‌ی نمونه‌ها از یک نیروسنج ۵۰۰ کیلو نیوتنی در نقطه‌ی اعمال بار و یک نیروسنج ۳۰۰ کیلو نیوتنی در هریک از تکیه‌گاه‌ها استفاده شده است. برای توزیع یکنواخت نیرو در عرض تیر و پوشش خطاهای احتمالی مربوط به هم محور نبودن تیر با جک یا تکیه‌گاه‌ها، از ورق‌های فولادی به ضخامت ۲۰ میلی‌متر و ابعاد 300×200 میلی‌متر که بین نیروسنج‌ها و بدنه‌ی تیر قرار می‌گرفته، استفاده شده است. هم‌چنین به‌منظور ثبت نشست‌های احتمالی تکیه‌گاه‌ها، در محل تکیه‌گاه‌ها و در زیر تیر یک جابه‌جایی‌سنج قرار داده شده است. سه جابه‌جایی‌سنج دیگر در زیر تیر و در محل وسط دهانه و یک‌چهارم دهانه در چپ و راست قرار گرفته است.

در تمامی نمونه‌ها یک کرنش‌سنج بر روی میلگرد کششی مرکزی و یکی بر روی یکی از میلگردهای فشاری در محل مقطع بحرانی (وسط دهانه) تعبیه شد. در همین مقطع و به فاصله ۴۰ میلی‌متر از دورترین تار فشاری، یک کرنش‌سنج مخصوص بر روی بتن نصب شد. در مورد نمونه‌ی مقاوم‌شده‌ی غیر پیش‌تینده از سه عدد کرنش‌سنج در ابتدا، یک‌چهارم دهانه و وسط دهانه‌ی تسمه‌ی CFRP استفاده گردید. اما در مورد نمونه‌های مقاوم‌شده‌ی پیش‌تینده و به‌منظور پی‌گیری افت‌های پیش‌تیندگی در طول تسمه‌ی CFRP از هفت عدد کرنش‌سنج استفاده شد که محل نصب آن‌ها در شکل (۵) مشاهده می‌گردد.

ضبط اطلاعات مربوط به کرنش‌سنج‌های تسمه‌های CFRP در نمونه‌های پیش‌تینده از اولین

$$\phi_{\text{decomp.}} = \frac{\epsilon_{t,\text{decomp.}} - \epsilon_{\text{top}}}{d_s} \quad (۳)$$

باید توجه داشت که در اثر اعمال بارهای خارجی (بهره‌برداری)، تنش فشاری در بتن هم‌تراز مرکز هندسی مصالح CFRP کاهش می‌یابد. در صورتی که بین بتن و تسمه‌ی CFRP چسبندگی کامل وجود داشته باشد، کاهش کرنش در بتن، مساوی افزایش کرنش کششی در CFRP می‌شود. در نتیجه در لحظه‌ی فشاربرداری مقدار کرنش کششی CFRP برابر خواهد بود با،

$$\epsilon_{f,\text{decomp.}} = \epsilon_{\text{bot}} \frac{h_3}{h_1} \quad (۴)$$

مقادیر h_1 و h_3 در شکل (۵) نمایش داده شده‌اند. با افزایش بارگذاری و گذشتن از مرحله‌ی فشاربرداری، مقطع تبدیل به یک مقطع تقویت‌شده‌ی معمولی (مشابه نمونه‌ی S-NP) خواهد شد. با این تفاوت که در هر لحظه، کرنش کششی در تسمه CFRP از سه قسمت تشکیل می‌شود،

$$\epsilon_f = \epsilon_{0f} + \epsilon_{f,\text{decomp.}} + \bar{\epsilon}_f \quad (۵)$$

در این رابطه، ϵ_{0f} مقدار کرنش پیش‌تیندگی، $\epsilon_{f,\text{decomp.}}$ مقدار کرنش ناشی از اعمال بار فشاربرداری (رابطه‌ی ۴) و $\bar{\epsilon}_f$ مقدار کرنش ناشی از بارگذاری خارجی پس از فشاربرداری است که براساس تحلیل مقطع به‌عنوان یک مقطع بدون پیش‌تیندگی به‌دست آمده است (شکل ۷).

از آن‌جا که کرنش فولادهای کششی در لحظه‌ی فشاربرداری به صفر رسیده است، لذا در مراحل بعدی بارگذاری کرنش فولاد، همان کرنش حاصل از تحلیل معمولی مقطع خواهد بود ($\epsilon_s = \bar{\epsilon}_s$). اما در مورد بتن فشاری از آن‌جا که در لحظه‌ی فشاربرداری، کرنش فشاری در بتن وجود دارد، لذا پس از آن باید کرنش حاصل از تحلیل مقطع را با کرنش ناشی از مراحل قبل جمع نمود ($\epsilon_c = \bar{\epsilon}_c + \epsilon_{c,\text{decomp}}$).

براساس روابط مقاومت مصالح، مقدار کرنش در دورترین تارهای مقطع در بالا و پایین (ϵ_{bot} و ϵ_{top}) محاسبه می‌گردد و در نتیجه، مقدار انحنای ناشی از پیش‌تیندگی (ϕ_{pre}) طبق رابطه‌ی (۲) به‌دست می‌آید.

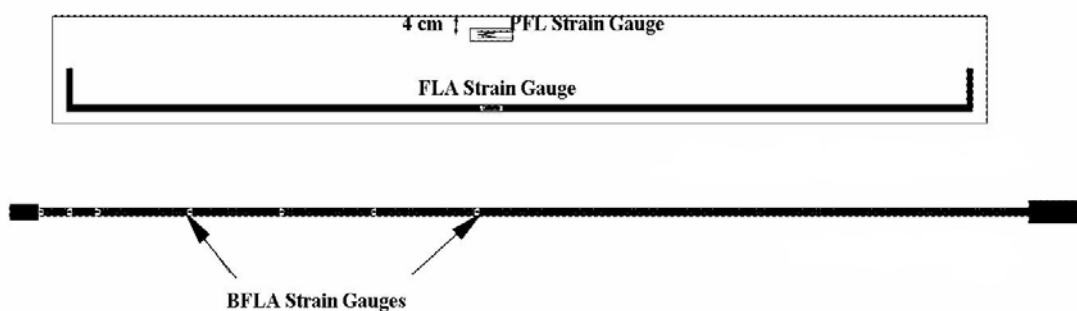
$$\phi_{\text{pre.}} = \frac{\epsilon_{\text{bot}} - \epsilon_{\text{top}}}{h} \quad (۲)$$

مقدار h در این رابطه برابر با عمق مقطع می‌باشد. البته این انحنای نسبت به مقادیر انحنای در طول بارگذاری اصلی دارای علامت منفی می‌باشد. با توجه به این‌که مقدار لنگر در نمودار لنگر-انحنای متناظر با بارگذاری خارجی می‌باشد، لذا مقدار لنگر در این مرحله $M_{\text{pre}} = 0$ منظور می‌شود.

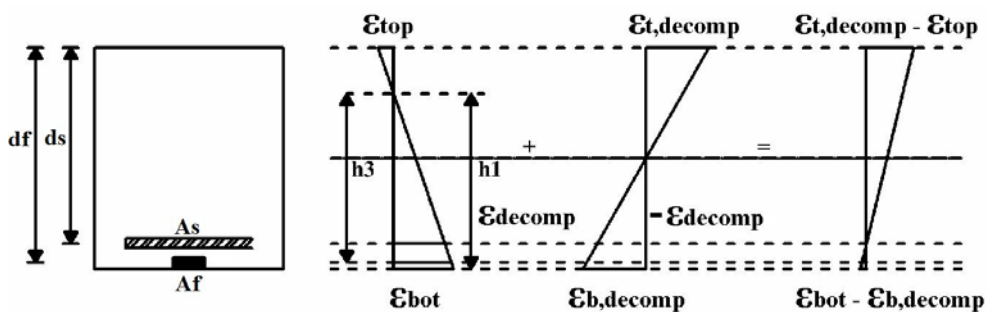
لحظه‌ی فشاربرداری. مرحله‌ی فشاربرداری به مرحله‌ای اطلاق می‌شود که در آن به‌علت بارهای خارجی، کرنش کششی در فولادهای کششی با کرنش فشاری ناشی از اعمال پیش‌تیندگی در آن‌ها برابر می‌شود. در واقع، در این مرحله کرنش در بتن هم‌تراز با فولادهای کششی صفر می‌شود و تیر به حالت افقی خود می‌رسد. مقدار کرنش در بتن هم‌تراز با فولادهای کششی (ϵ_{decomp})، پس از اعمال پیش‌تیندگی، با توجه به پروفیل کرنش در مرحله‌ی قبل به‌دست می‌آید و از آن‌جا که بتن در این قسمت هم‌چنان دارای رفتار خطی و بدون ترک‌خوردگی می‌باشد، لذا تنش متناظر با لحظه‌ی فشاربرداری در بتن هم‌تراز با فولادهای کششی (f_{decomp}) برابر با حاصل ضرب کرنش در مدول الاستیسیته‌ی بتن می‌باشد. حال می‌توان لنگر متناظر با لحظه‌ی فشاربرداری را به‌کمک روابط مقاومت مصالح به‌دست آورد. این لنگر در مقطع ایجاد کرنش‌های متقارن می‌نماید. تغییرات در نمودار کرنش مقطع، در طول مرحله‌ی فشاربرداری در شکل (۶) مشاهده می‌گردد. در نتیجه مقدار انحنای در لحظه‌ی فشاربرداری برابر خواهد بود با،



شکل ۴ تنظیمات آزمایشگاهی برای بارگذاری و ثبت اطلاعات نمونه‌ها



شکل ۵ جانمایی کرنش‌سنج‌ها



شکل ۶ تغییرات کرنش در مقطع در مرحله‌ی فشاربرداری

حال اگر $\epsilon_f \leq \epsilon_{fu}$ باشد، فرض انجام شده در خصوص حالت شکست صحیح است. اما اگر مقدار ϵ_f بزرگتر از ϵ_{fu} به دست بیاید، حالت شکست نهایی پارگی تسمه‌ی CFRP است و باید تحلیل این قسمت مجدداً و بر پایه‌ی مقدار کرنش در تسمه‌ی CFRP انجام پذیرد.

$$\bar{\epsilon}_f = \epsilon_{fu} - \epsilon_{of} - \epsilon_{f,decomp}. \quad (V)$$

در پایان براساس هریک از حالات محتمل ذکر شده در بالا، مقادیر M_u و ϕ_u به دست خواهند آمد. با در اختیار داشتن منحنی لنگر-انحنای برای مقطع بحرانی (وسط دهانه) یک تیر دو سر ساده، می‌توان کلیه‌ی رفتارهای خمشی آن را در هر لحظه از این منحنی استخراج نمود. برای به دست آوردن ظرفیت باربری تیر در هر لحظه می‌توان مقدار لنگر حداکثر تیر را در آن لحظه از منحنی لنگر-انحنای قراءت کرد و سپس با استفاده از روابط کلاسیک مقاومت مصالح مقدار بار متمرکز وارد بر تیر را محاسبه نمود.

همچنین با این‌که نمودار لنگر-انحنای جزء مشخصات مقطع به‌شمار می‌رود، اما به‌کمک آن می‌توان منحنی تغییرات ϕ در طول تیر را رسم کرد و براساس این منحنی، مقدار تغییر شکل را در هر مقطع دل‌خواه به دست آورد.

$$\delta_{AB} = \int_A^B \phi x dx \quad (A)$$

یعنی تغییر مکان نسبی نقطه‌ی A نسبت به نقطه‌ی B (δ_B) برابر لنگر سطح زیر منحنی ϕ از A تا B خواهد بود. لذا با در نظر گرفتن نقطه‌ی A در محل تکیه‌گاه ($\delta_A=0$) و رسم منحنی انحنای تا مقطع بحرانی

لحظه‌ی ترک‌خوردگی مقطع. با در نظر گرفتن لحظه‌ی رسیدن تنش در دورترین تار کششی مقطع به مقدار مقاومت خمشی بتن، f_t به‌عنوان تراز ترک‌خوردگی و با استفاده از روابط بتن مقادیر M_{cr} و ϕ_{cr} محاسبه می‌گردند.

تنش‌های مجاز سرویس. با توجه به حضور یک ماده‌ی اضافی مانند CFRP در مقطع، تنش مجاز بهره‌برداری برای فولادهای کششی براساس آیین‌نامه‌ی ACI 440.2R [35]، برابر با $0.8f_y$ در نظر گرفته می‌شود و براساس روابط کلاسیک بتن‌آرمه و انجام عملیات آزمون و اصلاح، مقدار عمق فشاری مقطع (c) و در نتیجه مقدار $\phi_{service}$ به دست می‌آید. هم‌چنین مقدار $M_{service}$ با استفاده از منحنی هاگنستاد برای رفتار فشاری بتن و روابط بتن‌آرمه محاسبه می‌گردد.

تسلیم فولادهای کششی. در این قسمت با قرار دادن $\epsilon_s = \epsilon_y = 0.002$ ، مشابه قسمت قبلی، با آزمودن مقادیر مختلف برای ارتفاع تار خشی (c) و رسیدن به مقدار صحیح عمق فشاری مقطع، مقادیر M_y و ϕ_y به دست خواهند آمد.

شکست نهایی. دو حالت شکست برای تیرهای تقویت شده قابل تصور است؛ خرد شدن بتن در ناحیه‌ی فشاری و وقوع شکست خمشی و یا پارگی تسمه‌های CFRP.

ابتدا فرض می‌شود که مقدار کرنش کل بتن به مقدار نهایی آن رسیده باشد ($\bar{\epsilon}_c = \epsilon_{cu} - \epsilon_{c,decomp}$) و بر این اساس و با محاسبه‌ی مقدار c، مقدار کرنش CFRP برابر خواهد بود با (شکل ۷)،

$$\epsilon_f = \epsilon_{of} + \epsilon_{f,decomp} + \frac{d_f - c}{c} \bar{\epsilon}_c \quad (6)$$

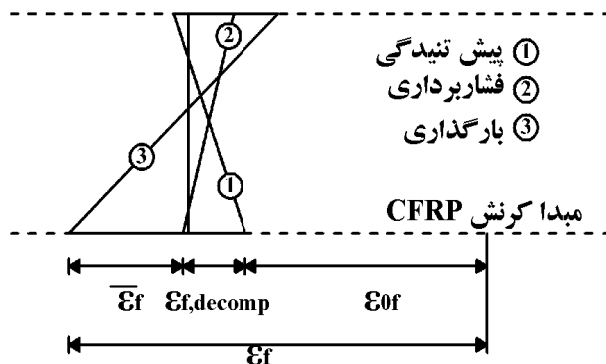
باربری نهایی نمونه‌ها براساس ارزیابی تحلیلی صورت گرفته نیز باید گفت که نمونه‌های S-NP، S-P5، S-P20 و S-P30 به ترتیب دارای ۱۲، ۱۳، ۱۴ و ۱۵ درصد افزایش نسبت به نمونه‌ی مینا بوده‌اند. هم‌چنین با در نظر گرفتن شاخص شکل‌پذیری تغییر مکانی به‌عنوان یکی از معیارهای شکل‌پذیری در اعضای بتن مسلح، نتیجه می‌شود که تقویت نمونه‌ها و هم‌چنین اعمال نیروی پیش‌تندگی در نمونه‌های تقویت‌شده، باعث کاهش شکل‌پذیری آن‌ها نسبت به نمونه‌ی مینا خواهد شد. این کاهش به ترتیب برای نمونه‌های S-NP، S-P5، S-P20 و S-P30 برابر ۱۰، ۱۲/۷، ۱۴ و ۲۳ درصد بوده است. از طرف دیگر باید گفت که شیوه‌ی مقاوم‌سازی به کار رفته، باعث افزایش سختی در نمونه‌های تقویت‌شده گردیده است.

هم‌چنین مشاهده‌ی نمودار تغییرات کرنش در تسمه‌ی مقاوم‌کننده‌ی CFRP به‌ازای تغییرات بار وارد براساس ارزیابی تحلیلی انجام شده (شکل ۱۰) نشان می‌دهد در مقاوم‌سازی تیر بتنی با استفاده از مصالح CFRP غیر پیش‌تندیده (نمونه‌ی S-NP) تنها امکان استفاده از ۷۳ درصد از ظرفیت کششی این مصالح تا لحظه‌ی شکست نهایی وجود دارد. اعمال پیش‌تندگی به‌میزان تنها ۵ درصد ظرفیت اسمی تسمه‌ها باعث استفاده‌ی ۸۰ درصدی از ظرفیت مصالح CFRP در نمونه‌ی S-P5 می‌گردد. افزایش سطح پیش‌تندگی تا ۲۰ درصد ظرفیت اسمی تسمه‌ی CFRP در نمونه‌ی S-P20، استفاده از ظرفیت مصالح مقاوم‌کننده را تا ۹۳ درصد افزایش می‌دهد. استفاده‌ی کامل از ظرفیت تسمه‌ی CFRP نیز با اعمال پیش‌تندگی به‌میزان ۳۰ درصد ظرفیت آن (نمونه‌ی S-P30) قابل حصول است.

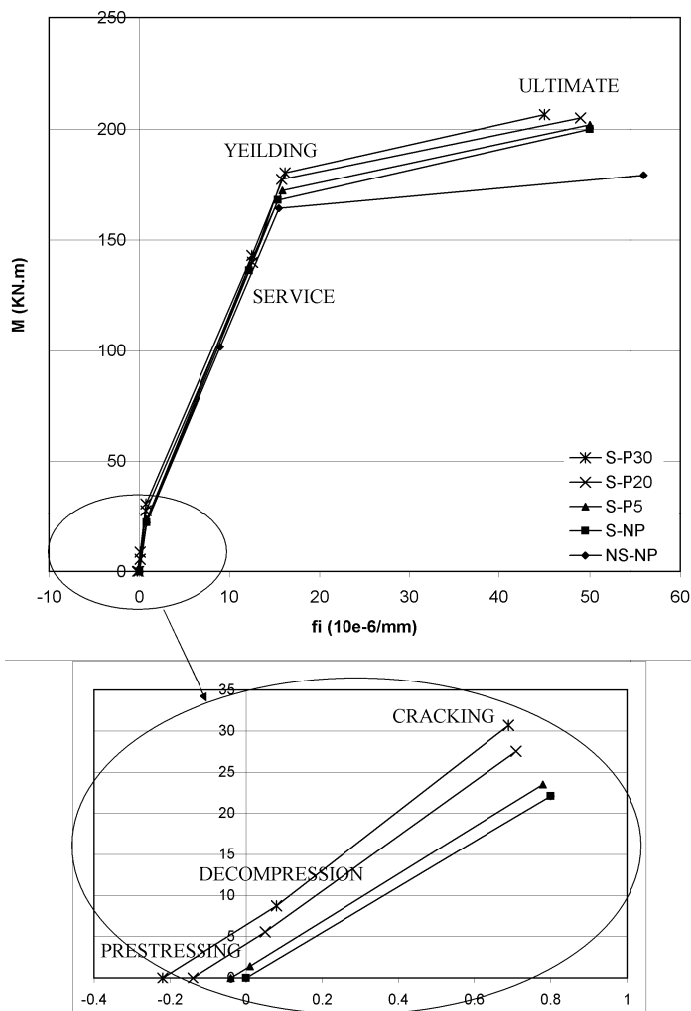
تیر در وسط، می‌توان تغییر مکان حداکثر تیر بتنی (δ_B) را به‌دست آورد. و در نهایت این‌که، میزان شکل‌پذیری هر نمونه را نیز می‌توان به‌کمک ضریب شکل‌پذیری انحنایی آن، که به‌صورت $\eta_\phi = \phi_u / \phi_y$ می‌باشد، تعیین نمود. این امر مقایسه میان قابلیت شکل‌پذیری نمونه‌های مختلف این تحقیق را به کمک رسم منحنی لنگر انحنا برای آن‌ها ممکن می‌سازد.

با توجه به مشخصات نمونه‌های ساخته شده که در بخش چهارم توضیح داده شد، و براساس روش ارزیابی تحلیلی بیان شده، منحنی لنگر-انحنا برای نمونه‌ی مینا (تقویت‌نشده) و نمونه‌های تقویت‌شده مطابق شکل (۸) رسم می‌گردد. بر این اساس می‌توان مقادیر تحلیلی باربری و تغییر شکل را برای هریک از نمونه‌ها به‌دست آورد که منحنی‌های مربوط به آن در شکل (۹) قابل مشاهده است.

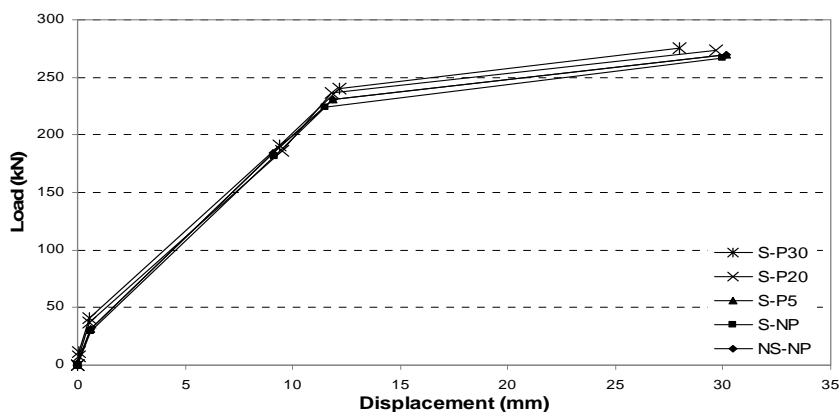
در نتیجه‌ی ارزیابی تحلیلی تمامی نمونه‌ها، همان‌طور که در شکل (۹) نشان داده شده است، ملاحظه می‌گردد که از نظر مقدار بار متناظر با ترک خوردگی، نمونه‌ی تقویت‌شده‌ی غیر پیش‌تندیده تفاوتی با نمونه‌ی مینا ندارد، در حالی‌که مقدار بار ترک‌خوردگی در نمونه‌های S-P5، S-P20 و S-P30 به ترتیب ۶، ۲۴ و ۳۹ درصد افزایش نسبت به نمونه‌ی مینا داشته‌اند. هم‌چنین مقایسه‌ی بار متناظر با لحظه‌ی تسلیم فولادهای کششی در نمونه‌های مختلف نشان می‌دهد که نمونه‌ی S-NP دارای تنها ۲ درصد افزایش در مقدار بار تسلیم نسبت به نمونه‌ی مینا می‌باشد. این افزایش در میزان بار تسلیم میلگردهای کششی در مقایسه با نمونه‌ی مینا برای نمونه‌های S-P5، S-P20 و S-P30 به ترتیب برابر با ۵، ۷/۵ و ۹/۵ درصد می‌باشد. در خصوص مقدار افزایش در ظرفیت



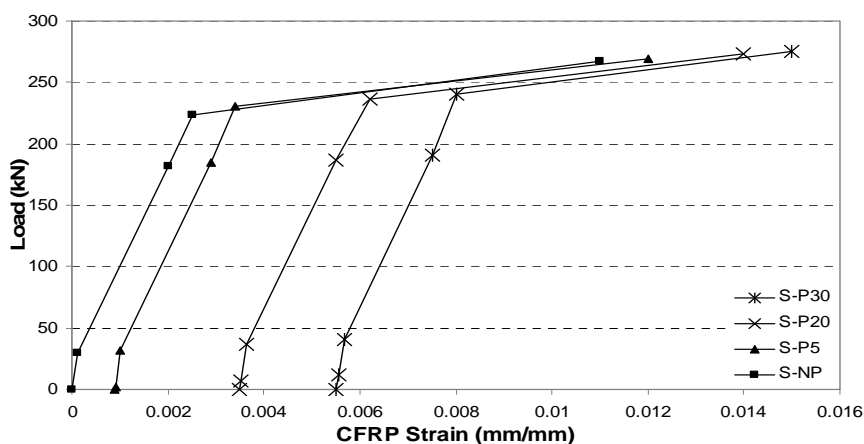
شکل ۷ اجزاء تشکیل دهنده‌ی مقدار کرنش در CFRP پس از مرحله‌ی فشاربرداری



شکل ۸ نمودارهای لنگر- انحنای به‌دست آمده برای نمونه‌های مختلف به‌کمک ارزیابی تحلیلی



شکل ۹ نمودار نیرو- تغییر مکان به دست آمده از ارزیابی تحلیلی برای نمونه‌های مختلف

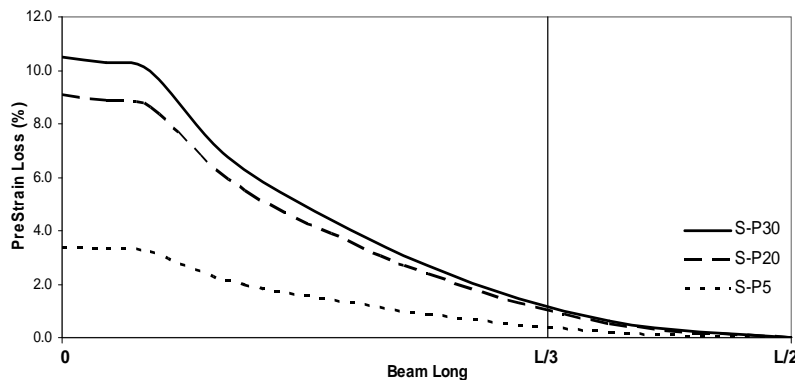


شکل ۱۰ نمودار بار- کرنش تسمه‌ی CFRP براساس ارزیابی تحلیلی نمونه‌ها

طول تسمه‌ی کشیده شده اشاره نمود. اما مشاهده‌ی نتایج ثبت شده توسط کرنش‌سنج‌ها در نقاط ابتدایی تسمه‌های CFRP، نشان داد که میزان افت در مقدار کرنش پیش‌تندگی در این تحقیق بسیار ناچیز و حداکثر برابر ۱۰ درصد کرنش پیش‌تندگی در نقاط ابتدایی تسمه‌ها بوده است. هم‌چنین با دور شدن از نقاط ابتدایی انتقال نیروی پیش‌تندگی به نحو موثرتری انجام گرفته است، به طوری که در هیچ یک از نمونه‌ها، کاهش در نیروی پیش‌تندگی تسمه‌ی CFRP منتقل شده در وسط دهانه‌ی تیر مشاهده نگردید (شکل ۱۱).

نتایج آزمایشگاهی

افت نیروی پیش‌تندگی. وقوع و محاسبه افت‌ها در میزان نیروی پیش‌تندگی اولیه، یکی از مباحث مهم در بتن پیش‌تندیده می‌باشد. با توجه به تجارب منتشر شده‌ی سایر محققان [9,13]، که در آن‌ها افت‌هایی تا ۳۵ درصد مقدار اولیه در نیروی پیش‌تندگی گزارش شده است، در این تحقیق نیز انتظار وقوع افت‌های قابل توجهی در میزان کرنش پیش‌تندگی وجود داشت که بر این اساس تدابیر خاصی اندیشیده شد. از جمله می‌توان به نصب تعداد ۷ عدد کرنش‌سنج در نقاط مختلف تسمه‌ی CFRP، به منظور پی‌گیری وضعیت افت و انتقال نیروی پیش‌تندگی در نقاط مختلف، در



شکل ۱۱ نمودار افت در انتقال نیروی پیش تنیدگی در طول تسمه‌ی CFRP در نمونه‌های مختلف

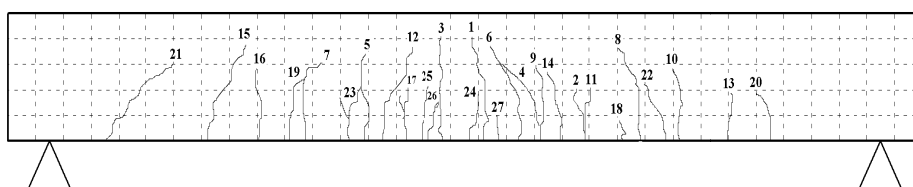
منحنی‌های اساسی. شکل (۱۴) اطلاعات ثبت شده به وسیله‌ی جابه‌جایی سنج و نیروسنج وسط دهانه را در طول آزمایش نمونه‌های مختلف نشان می‌دهد. همان‌طور که در این شکل مشاهده می‌شود مقدار باربری نهایی در نمونه‌ی مبنا (تقویت‌نشده) برابر با ۲۵۴/۸ کیلو نیوتن می‌باشد. ظرفیت باربری نهایی در نمونه‌ی تقویت‌شده‌ی بدون پیش‌تندگی (S-NP) با بیش از ۱۰ درصد افزایش به مقدار ۲۸۰/۸ kN افزایش می‌یابد. این افزایش با در نظر گرفتن درصد بسیار پایین مقاوم‌کننده CFRP در مقطع ($\rho_f = ۰/۰۰۰۵۴$)، بسیار مناسب است و کارایی روش NSM FRP را در مقاوم‌سازی سازه‌های بتنی نشان می‌دهد. البته حالت شکست در این نمونه، شکست چسبندگی پیش از موعد می‌باشد که اشاره به عدم استفاده از تمامی ظرفیت مقاوم‌کننده CFRP علی‌رغم افزایش مناسب در ظرفیت باربری دارد. با اعمال نیروی پیش‌تندگی در نمونه‌های تقویت‌شده به روش NSM CFRP، ظرفیت باربری نهایی باز هم افزایش می‌یابد. این افزایش برای نمونه‌های S-P30، S-P20، S-P5 به ترتیب برابر با ۱۱/۵، ۱۴/۵ و ۱۵ درصد نسبت به نمونه‌ی مبنا می‌باشد. بر این اساس با اعمال پیش‌تندگی، حتی به میزان بسیار کم در نمونه‌ی S-P5، ظرفیت باربری نمونه‌ها، به صورت قابل توجهی نسبت به نمونه‌ی مبنا و نیز نسبت به نمونه‌ی تقویت‌شده‌ی غیر پیش‌تندگی افزایش می‌یابد که این امر به دلیل استفاده‌ی سطح

مشخصات ترک‌ها. شکل (۱۲) چگونگی توزیع ترک‌ها را در نمونه‌های مختلف نشان می‌دهد. در این شکل، شماره‌های ۱، ۲، ۳ و... معرف شماره‌ی ترک‌ها برحسب تقدم زمانی تشکیل آن‌ها می‌باشد. همان‌طور که در این شکل مشاهده می‌شود، تعداد ترک‌های متناظر با لحظه‌ی شکست، در نمونه‌ی تقویت‌شده‌ی بدون پیش‌تندگی، تقریباً برابر با نمونه‌ی تقویت‌نشده می‌باشد. اما اعمال نیروی پیش‌تندگی باعث محدودتر شدن تعداد ترک‌ها می‌گردد؛ به طوری که با افزایش این نیرو، تعداد ترک‌ها در لحظه‌ی نهایی نیز کاهش می‌یابد. نحوه‌ی توزیع ترک‌ها در نمونه‌ی کنترلی و نمونه‌های تقویت‌شده تقریباً مشابه یکدیگر می‌باشد. بدین صورت که در زیر بار متمرکز عمده‌تاً به صورت ترک‌های خمشی در قسمت کششی تیر، و با دور شدن از محل اعمال بار و نزدیک شدن به تکیه‌گاه‌ها، تقریباً به صورت ترک‌های خمشی - برشی ظاهر شده‌اند.

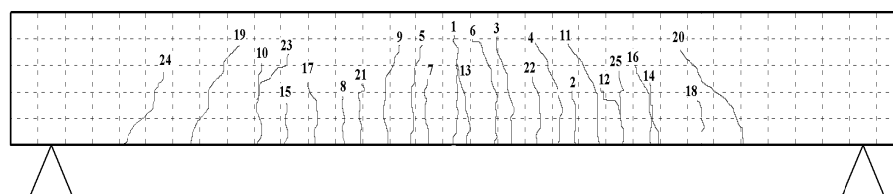
هم‌چنین منحنی حداکثر عرض ترک‌های ایجادشده برحسب بار اعمالی وسط دهانه برای نمونه‌های مختلف در شکل (۱۳) نشان داده شده است. قابل ذکر است که در این منحنی‌ها، به‌علت پرهیز از خطای گزینش تصادفی، مقادیر حداکثر عرض به صورت متوسطی از عرض ترک‌های واقع در یک متر میانی تیر (ناحیه بحرانی ترک‌های خمشی، از هر طرف ۰/۵ متر) محاسبه گردیده است.

می‌شود؛ اما در مقایسه با نمونه‌های S-P20 و S-P30 ملاحظه می‌گردد که علی‌رغم یک و نیم برابر نمودن نیروی پیش‌تیندگی در نمونه‌ی S-P30، این نمونه افزایش قابل‌ملاحظه‌ای را در ظرفیت باربری، در مقایسه با نمونه‌ی S-P20، نشان نداده است.

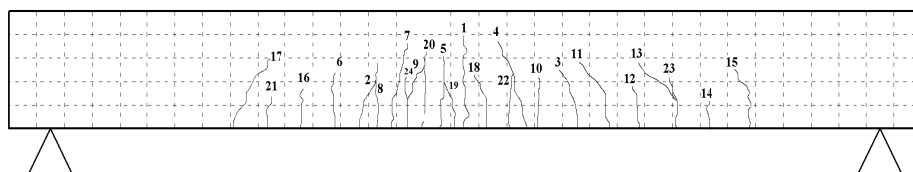
بالتری از ظرفیت کششی مقاوم کننده‌ی CFRP حادث شده است. باید توجه داشت که در نمونه‌ی S-P20، با چهار برابر کردن مقدار نیروی پیش‌تیندگی نسبت به نمونه‌ی S-P5، ۳ درصد افزایش ظرفیت باربری در نمونه‌ی S-P20 نسبت به نمونه‌ی S-P5 مشاهده



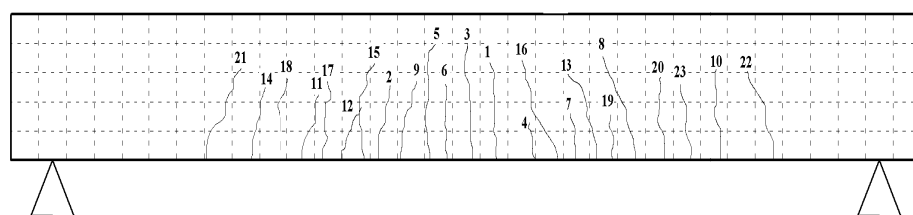
(الف) نمونه‌ی NS-NP



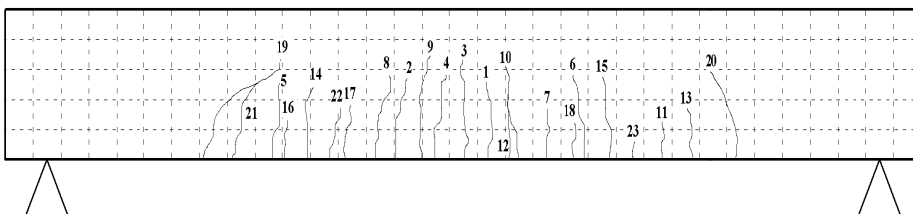
(ب) نمونه‌ی S-NP



(ج) نمونه‌ی S-P5

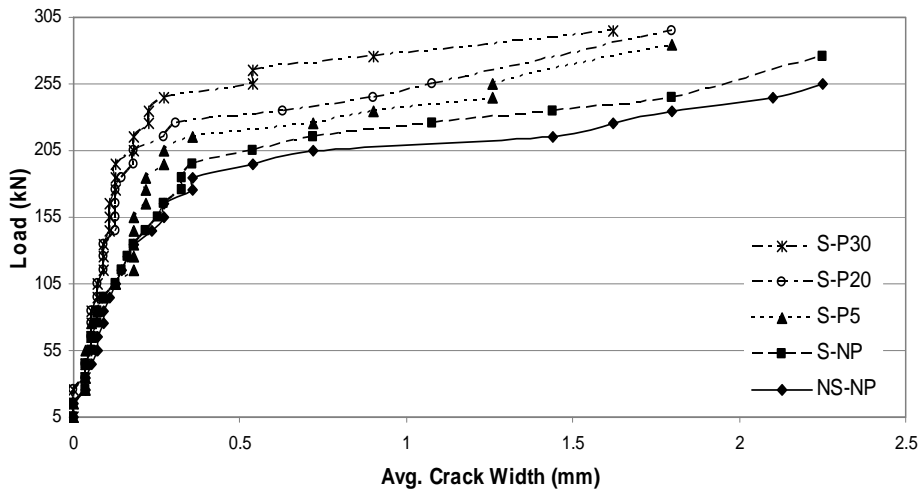


(د) نمونه‌ی S-P20

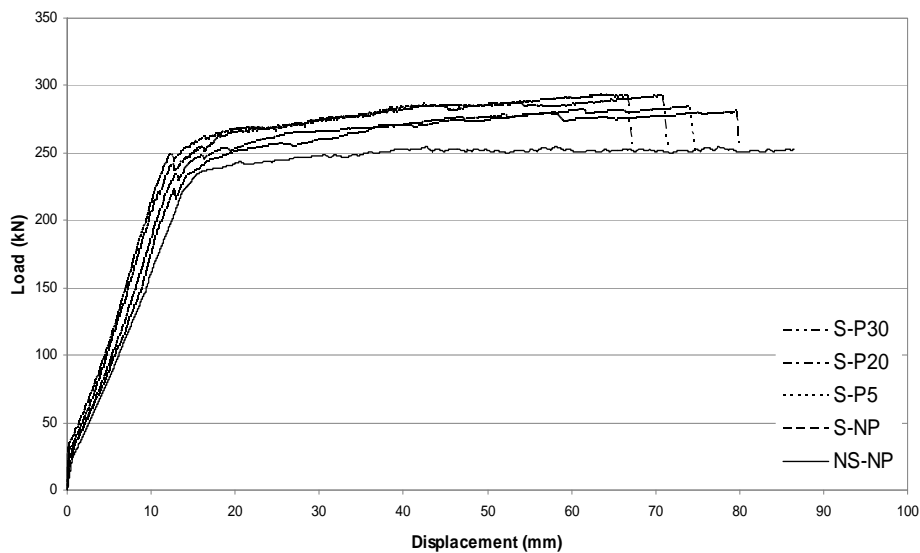


(ه) نمونه‌ی S-P30

شکل ۱۲ توزیع ترک‌ها در لحظه‌ی نهایی برای نمونه‌های مختلف



شکل ۱۳ نمودار بار اعمالی جک بر حسب عرض ترک‌ها در نمونه‌های مختلف



شکل ۱۴ منحنی تغییرات بار اعمالی-تغییر مکان وسط دهانه در نمونه‌های مختلف

مشاهده است
 با توجه به شکل (۱۶)، مشاهده می‌گردد که با در نظر گرفتن کرنش تسلیم فولاد برابر با 0.002 ، مقاومت‌سازی تیر بتنی با تسمه‌ی CFRP غیر پیش‌تنیده، تأثیر چندانی در میزان بار تسلیم (بار متناظر با لحظه‌ی تسلیم فولادهای کششی) ندارد و آن را تنها در حدود $1/5$ درصد افزایش می‌دهد. اما اعمال پیش‌تنیدگی باعث افزایش مناسبی در مقدار بار تسلیم می‌شود و این

هم‌چنین با توجه به شکل (۱۵)، که در واقع بزرگ‌نما شده‌ی قسمت ابتدایی شکل (۱۴) می‌باشد، ملاحظه می‌گردد که تقویت نمونه‌ها با مقاوم‌کننده‌های غیر پیش‌تنیده (S-NP) تقریباً هیچ اثری بر روی میزان بار ترک‌خوردگی تیر ایجاد نمی‌کند؛ درحالی که اعمال پیش‌تنیدگی، این مشخصه از رفتار تیر (بار ترک‌خوردگی) را به شدت افزایش می‌دهد، به طوری که افزایشی تا حد 45 درصد نیز در نمونه‌ی S-P30 قابل

S-P20 و S-P30 برابر کرنش نهایی تسمه‌ها (۰/۰۱۶) - (۰/۰۱۵) است که این امر با حالت شکست مشاهده شده در این نمونه‌ها، یعنی پارگی تسمه‌های CFRP، مطابقت کامل دارد و حاکی از استفاده‌ی حداکثری از ظرفیت مصالح CFRP در این دو نمونه می‌باشد. در نمونه‌ی S-P5 حداکثر کرنش ثبت شده برای تسمه‌ی CFRP در حدود ۰/۰۱۳ یعنی در حدود ۸۵ درصد کرنش نهایی تسمه‌ها می‌باشد. در نمونه‌ی S-NP نیز مقدار ۰/۰۱ به‌عنوان کرنش حداکثر تسمه CFRP ثبت گردیده است که این مقدار در حدود ۶۵ درصد کرنش نهایی تسمه می‌باشد. در نتیجه ملاحظه می‌شود که اعمال نیروی پیش‌تندگی، حتی در سطوح بسیار پایین، اثر بسیار مناسبی در استفاده‌ی سطح بالاتر از ظرفیت مصالح مقاوم‌کننده FRP دارد و هزینه‌های پروژه‌ی مقاوم‌سازی را کاهش می‌دهد.

یکی دیگر از موارد مهم قابل بررسی، شکل‌پذیری تیرها می‌باشد. برای تعیین شکل‌پذیری تیرهای بتن آرمه‌ی تقویت‌شده با FRP مدل‌های مختلفی ارائه شده است [36]. در این تحقیق بر اساس روش متعارف، با تقسیم تغییر مکان نهایی هر نمونه (δ_{II}) به مقدار تغییر مکان متناظر با تسلیم آن (δ_y)، مقدار ضریب شکل‌پذیری تغییر مکانی ($\eta\Delta$) برای نمونه‌های مختلف محاسبه می‌گردد.

با توجه به جدول (۲) ملاحظه می‌گردد که به‌طور کلی مقاوم‌سازی تیرهای بتنی با استفاده از تسمه‌های NSM CFRP، قابلیت شکل‌پذیری آن‌ها را کاهش می‌دهد. این کاهش برای نمونه‌ی غیر پیش‌تندگی در حدود ۷ درصد است که با اعمال و افزایش نیروی پیش‌تندگی، مقدار کاهش در شکل‌پذیری تیر بتنی حتی تا حدود ۲۰ درصد (برای نمونه‌ی S-P30) نیز می‌رسد.

جدول (۳) تفاوت مقادیر ظرفیت باربری به‌دست آمده از دو طریق انجام آزمایش و ارزیابی تحلیلی در

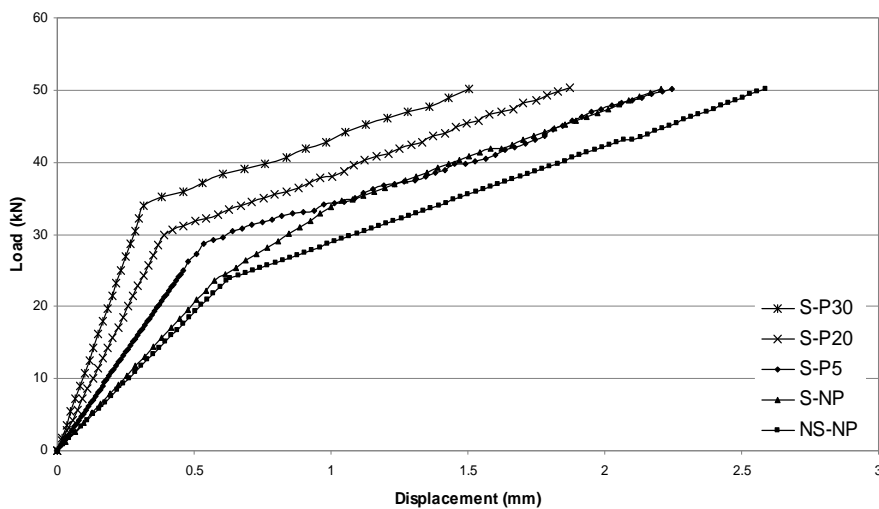
خصیصه را نسبت به نمونه‌ی مینا به‌میزان ۵/۵ درصد در نمونه‌های S-P5 و S-P20 و به‌میزان ۹ درصد در نمونه‌ی S-P30 افزایش می‌دهد. البته بر مبنای ارزیابی تحلیلی صورت گرفته، انتظار می‌رفت تا مقدار بار تسلیم در نمونه‌ی S-P20 بیش از نمونه‌ی S-P5 باشد که در عمل، مقدار این مشخصه در هر دو نمونه یکسان به‌دست آمد. اما شیوه‌ی مقاوم‌سازی مورد استفاده در این تحقیق، تأثیر خود را در محدوده‌ی بارگذاری‌های سرویس به‌خوبی نشان می‌دهد. با در نظر گرفتن کرنش فولاد برابر ۰/۰۰۱۶ به‌عنوان شاخص مرحله‌ی سرویس نمونه‌ها و مقدار بار متناظر با این کرنش به‌عنوان بار سرویس، مشاهده می‌گردد که نمونه‌های S-P5، S-P20 و S-P30 به‌ترتیب دارای افزایش ۱۰، ۱۸ و ۲۱ درصدی بار سرویس، نسبت به نمونه‌ی مینا هستند. افزایش بار سرویس در مورد نمونه‌ی S-NP، تنها در حدود ۱/۵ درصد بوده است.

شکل (۱۷) منحنی تغییرات بار وارد بر نمونه‌های مختلف را برحسب تغییرات کرنش در مقطع وسط تسمه‌ی CFRP نشان می‌دهد. به‌طور کلی این منحنی‌ها دارای سه قسمت کاملاً قابل تشخیص می‌باشند. قسمت اول از لحظه‌ی ابتدای بارگذاری شروع می‌شود و تا زمان ترک‌خوردگی مقطع ادامه می‌یابد که در آن به‌علت سختی بسیار بالای تیر، شیب منحنی بار-کرنش CFRP نیز بسیار شدید می‌باشد. در قسمت دوم با کاهش سختی مقطع، به‌دلیل ترک خوردن بتن، شیب منحنی دچار کاهش کمی می‌شود و تا زمان تسلیم فولادهای کششی با این شیب جدید ادامه می‌یابد. در مرحله‌ی سوم و پس از تسلیم فولادهای کششی، مقطع بسیار نرم می‌شود و در نتیجه شیب منحنی کرنش در تسمه CFRP نیز افت محسوس پیدا می‌کند. قسمت سوم تا لحظه‌ی شکست نهایی ادامه می‌یابد.

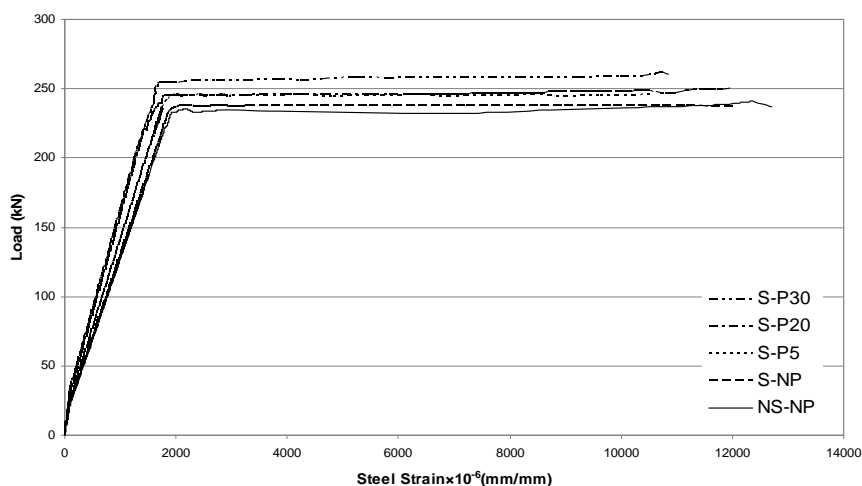
همان‌طور که مشاهده می‌شود، مقدار حداکثر کرنش ثبت شده برای تسمه CFRP، در نمونه‌های

رفتار غیرارتجاعی، کاملاً غیرقابل اعتمادند و شباهتی به رفتار واقعی تیرها ندارند. از مواردی که خطای قابل توجه در محاسبات تحلیلی ایجاد می‌کند، عدم توجه به سخت‌شدگی کرنشی (strain hardening) در فولادهای کششی در کرنش‌های پس از تسلیم است که در برآورد تحلیلی منظور نشده است.

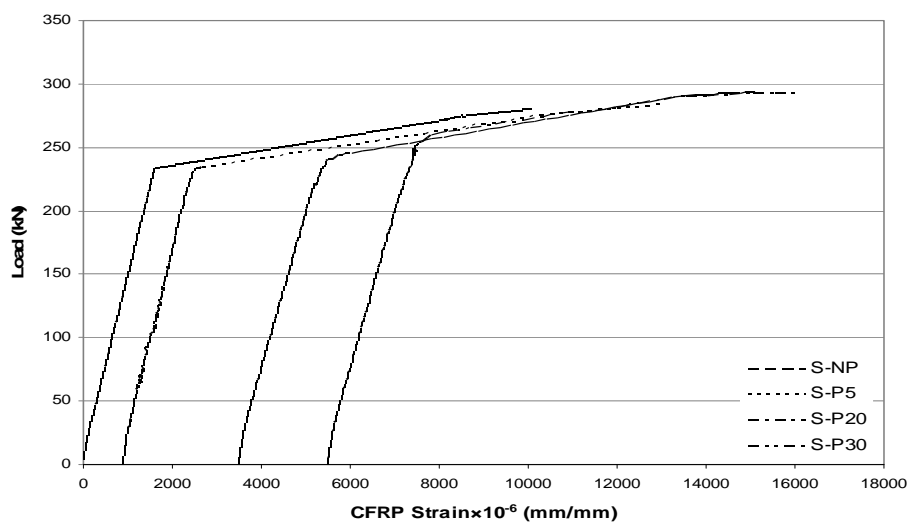
نمونه‌های مختلف را نشان می‌دهد. همان‌گونه که مشاهده می‌شود، در ارزیابی تحلیلی، نمونه‌ها سخت‌تر از رفتار واقعی خود در نظر گرفته شده‌اند و مقادیر تغییر شکل به‌دست آمده از ارزیابی تحلیلی، محافظه‌کارانه‌تر بوده است. باید توجه داشت، همان‌طور که قبلاً نیز ذکر گردید، نتایج حاصل از ارزیابی تحلیلی پس از تسلیم فولادهای کششی و ورود به ناحیه‌ی



شکل ۱۵ منحنی تغییرات بار اعمالی - تغییر مکان وسط دهانه تا حد ترک خوردگی در نمونه‌های مختلف



شکل ۱۶ نمودار تغییرات بار وارد - کرنش حداکثر فولاد کششی در نمونه‌های مختلف



شکل ۱۷ منحنی تغییرات بار اعمالی بر حسب کرنش حداکثر تسمه‌ی CFRP

جدول ۲ تغییرات ضریب شکل‌پذیری در نمونه‌ها

نمونه	تغییر مکان تسلیم (δy)	تغییر مکان نهایی (δu)	ضریب شکل‌پذیری	درصد کاهش نسبت به نمونه‌ی مبنا
NS-NP	15.34	86.45	5.64	0.0
S-NP	15.24	79.88	5.24	7.1
S-P5	15.45	76.55	4.95	12.2
S-P20	14.1	71.36	5.06	10.3
S-P30	14.62	67.04	4.59	18.7

جدول ۳ مقایسه‌ی نتایج باربری نمونه‌ها در سطوح مختلف بارگذاری بر اساس مقادیر آزمایشگاهی و محاسبات تحلیلی صورت گرفته

بارگذاری	نمونه	مقدار تجربی	مقدار تحلیلی	درصد اختلاف
بار ترک‌خوردگی (kN)	NS-NP	23.5	22.1	6.0
	S-NP	23.5	22.1	6.0
	S-P5	25	23.5	6.0
	S-P20	30	27.6	8.0
	S-P30	34	30.7	9.7
بار سرویس (kN) $\epsilon_s=0.0016$	NS-NP	198.1	133	32.9
	S-NP	200.9	136.3	32.2
	S-P5	217.6	138.4	36.4
	S-P20	233.5	140	40.0
	S-P30	239.7	143	40.3
بار تسلیم (kN) $\epsilon_s=0.002$	NS-NP	233.2	164.2	29.6
	S-NP	236.5	168	29.0
	S-P5	245	172.2	29.7
	S-P20	245.1	177.4	27.6
بار نهایی (kN)	S-P30	254.4	180.2	29.2
	NS-NP	254.8	179.2	29.7
	S-NP	280.8	200	28.8
	S-P5	284	202	28.9
	S-P20	292.2	205.1	29.8
S-P30	293	206.6	29.5	

نتایج تحقیق

در این تحقیق به منظور بررسی تأثیر پیش‌تیندگی کامپوزیت‌های CFRP در روش نصب نزدیک سطح (NSM) بر مقاوم‌سازی خمشی تیرهای بتنی، ۵ عدد تیر بتن‌آرمه به طول ۳/۳ متر، عرض ۳۰۰ و ارتفاع ۳۵۰ میلی‌متر، و فولاد طولی معادل ۵۰ درصد فولاد متوازن آماده شد. یک تیر به صورت نمونه‌ی تقویت‌نشده (مبنا)، یک تیر به صورت تقویت‌شده‌ی غیر پیش‌تینده، و سه نمونه‌ی دیگر به صورت تقویت‌شده‌ی پیش‌تینده تا سطح ۵، ۲۰ و ۳۰ درصد کرنش نهایی اسمی تسمه‌های CFRP مورد آزمایش قرار گرفتند. نمونه‌ها هم‌چنین به صورت تحلیلی مورد ارزیابی قرار گرفتند و نتایج تحلیلی و تجربی در کنار هم مقایسه شدند. نتایج این تحقیق را می‌توان به صورت زیر ارائه نمود.

۱- در حالی که مقاومت در نمونه‌ی مقاوم‌شده با تسمه‌ی NSM CFRP غیر پیش‌تینده به میزان ۱۰ درصد نسبت به نمونه‌ی مبنا (تقویت‌نشده) افزایش یافته است، با اعمال پیش‌تیندگی به اندازه‌ی ۵، ۲۰ و ۳۰ درصد ظرفیت اسمی تسمه‌های CFRP، ظرفیت باربری نهایی نمونه‌های پیش‌تینده به ترتیب ۱۱/۵، ۱۴/۷ و ۱۵ درصد نسبت به نمونه‌ی مبنا افزایش می‌یابد.

۲- اعمال پیش‌تیندگی در نمونه‌های تقویت‌شده باعث تعویق لحظه‌ی ترک‌خوردگی بتن و در نتیجه بالا رفتن محسوس مقدار بار متناظر با لحظه‌ی ایجاد اولین ترک در تیرهای بتنی می‌گردد. بار ترک‌خوردگی در تیرهایی که تا سطح ۵، ۲۰ و ۳۰ درصد ظرفیت اسمی مصالح CFRP پیش‌تینده شده‌اند به ترتیب ۱۱۷، ۱۲۷/۵ و ۱۴۴/۵ درصد بار ترک‌خوردگی در نمونه‌ی مبنا می‌باشد. این در حالی است که مقدار بار ترک‌خوردگی در نمونه‌ی تقویت‌شده با تسمه‌ی NSM CFRP غیر پیش‌تینده، تغییری نسبت به نمونه‌ی تقویت‌نشده نداشته است. ۳- با در نظر گرفتن کرنش ۰/۰۰۲ به عنوان لحظه‌ی تسلیم میلگردهای کششی، نتایج ثبت شده در خصوص باربری نمونه‌ها در لحظه‌ی متناظر با

تسلیم فولادهای کششی نشان می‌دهد که نمونه‌ی تقویت‌شده‌ی بدون پیش‌تیندگی دارای بار تسلیمی تقریباً برابر با نمونه‌ی مبنا (با تنها ۱/۵ درصد افزایش) می‌باشد. اعمال پیش‌تیندگی در سطوح ۵ و ۲۰ درصد ظرفیت اسمی تسمه‌های CFRP باعث افزایش ۵/۵ درصدی بار تسلیم نسبت به نمونه‌ی مبنا می‌گردد. این افزایش در نمونه‌ای که تا ۳۰ درصد پیش‌تینده شده، به ۹ درصد نیز می‌رسد.

۴- از مهم‌ترین مزایای استفاده از این شیوه‌ی مقاوم‌سازی می‌توان به بهبود رفتار تیرهای مقاوم‌شده در ناحیه‌ی سرویس اشاره نمود. با در نظر گرفتن حد تنش مجاز معرفی شده توسط آیین‌نامه‌ها برای مصالح در محدوده‌ی خدمت (در این‌جا کرنش ۰/۰۰۱۶ برای فولاد کششی)، مقدار بار متناظر با این حد (بار سرویس) در نمونه‌های پیش‌تینده شده به میزان ۵، ۲۰ و ۳۰ درصد ظرفیت تسمه‌ها، به ترتیب ۱۰، ۱۸ و ۲۱ درصد نسبت به نمونه‌ی مبنا افزایش داشته است. با توجه به این‌که این افزایش در نمونه‌ی تقویت‌شده‌ی غیر پیش‌تینده ناچیز و در حدود ۱/۵ درصد بیشتر از نمونه‌ی مبنا می‌باشد، می‌توان تأثیر مثبت اعمال پیش‌تیندگی در مقاوم‌سازی تیرهای بتنی را در خصوص سرویس‌دهی این اعضا مشاهده نمود.

۵- توجه به معیار دیگر سرویس‌دهی تیرهای بتنی، یعنی تعداد و نحوه‌ی توزیع ترک‌های خمشی، نیز حاکی از بهبود رفتار تیر در ناحیه‌ی سرویس، در اثر به‌کارگیری این شیوه‌ی مقاوم‌سازی می‌باشد. توجه به مشخصات ترک‌هایی که در محدوده‌ی ۶۰-۷۰ درصد باربری نهایی نمونه‌ها (محدوده‌ی باربری سرویس) توسعه یافته‌اند، نشان می‌دهد که تعداد و پراکنندگی ترک‌ها برای نمونه‌ی تقویت‌نشده (مبنا) و نمونه‌ی تقویت‌شده‌ی غیر پیش‌تینده یکسان است ولی با اعمال و افزایش نیروی پیش‌تیندگی در نمونه‌ها، توزیع ترک‌ها محدودتر و تعداد آن‌ها نیز در نمونه‌های ۵، ۲۰ و ۳۰ درصد پیش‌تینده، به ترتیب ۶، ۱۶ و ۲۵ درصد

شکست در این دو نمونه، گسیختگی تسمه‌های CFRP بوده است.

۷- بررسی شاخص شکل‌پذیری تغییر مکانی، که از تقسیم مقدار خیز نهایی به تغییر مکان نقطه‌ی تسلیم به‌دست می‌آید، حاکی از کاهش شکل‌پذیری به‌میزان ۷، ۱۲، ۱۰/۵ و ۱۸/۵ درصد کمتر از شکل‌پذیری نمونه‌ی مینا به‌ترتیب برای نمونه‌های مقاوم‌شده بدون پیش‌تندگی، مقاوم‌شده با اعمال پیش‌تندگی ۵، ۲۰ و ۳۰ درصد ظرفیت اسمی تسمه‌های CFRP می‌باشد.

۸- در این تحقیق سعی شد تا با بسط یک شیوه‌ی ارزیابی تحلیلی، قبل از انجام آزمایش‌ها، به یک پیش‌بینی کلی در خصوص نوع رفتار و مشخصات خمشی هر یک از نمونه‌ها دست یافت. مقایسه‌ی نتایج این ارزیابی تحلیلی با نتایج آزمایشگاهی نشان می‌دهند که شیوه‌ی تحلیل به‌کار رفته، نمونه‌ها را سخت‌تر از شرایط واقعی آن‌ها در نظر گرفته است و باربری نمونه‌ها را در سطوح مختلف تا ۳۰ درصد کمتر از مقدار واقعی آن‌ها به دست می‌دهد. اما این شیوه‌ی ارزیابی تحلیلی در نشان دادن نحوه‌ی رفتار خمشی نمونه‌ها تا قبل از وارد شدن به ناحیه‌ی رفتار غیر ارتجاعی، مفید بوده است.

نسبت به نمونه‌ی مینا کاهش یافته است. هم‌چنین اندازه‌ی عرض ترک‌ها در محدوده‌ی بارهای سرویس (۶۰-۷۰ درصد بار نهایی هر نمونه) نیز در اثر به‌کارگیری این شیوه‌ی مقاوم‌سازی بهبود می‌یابد. در این مورد نیز تغییری در مقادیر عرض ترک‌ها در نمونه‌ی تقویت‌شده‌ی غیر پیش‌تندگی نسبت به نمونه‌ی مینا مشاهده نمی‌شود. اما اعمال پیش‌تندگی در حد ۵، ۲۰ و ۳۰ درصد ظرفیت اسمی مصالح CFRP در نمونه‌های تقویت‌شده، به‌ترتیب باعث کاهش عرض ترک‌های خمشی به میزان ۲۲، ۴۸ و ۵۲ درصد کمتر از نمونه‌ی مینا می‌شود.

۶- در این تحقیق حداکثر کرنش کششی ثبت شده برای نمونه‌ی تقویت‌شده‌ی غیر پیش‌تندگی در مقطع بحرانی برابر با ۶۵ درصد کرنش نهایی تسمه‌ی CFRP بوده است. این در حالی است که اعمال پیش‌تندگی تنها به‌میزان ۵ درصد ظرفیت اسمی مصالح CFRP، حداکثر کرنش ثبت شده در این نمونه را در لحظه‌ی شکست نهایی تا ۸۵ درصد کرنش نهایی تسمه بالا می‌برد. در دو نمونه‌ی دیگر که تا حد ۲۰ و ۳۰ درصد ظرفیت اسمی تسمه‌ها پیش‌تندگی شده بودند، تمامی ظرفیت کششی مصالح مقاوم‌کننده مورد استفاده واقع شدند و حالت

مراجع

1. Macgregor, J. G., "Reinforced Concrete Mechanics and Design", 3rd ed., Prentice Hall, (1997).
2. Alfarabi Sharif, G. J., Alsuleimani, J. A., Basunbul, M. H., and Ghaleb, N., "Strengthening of initially loaded concrete beams using FRP plates", *ACI Struct. J.*, 92(2), pp. 160-168, (1994).
3. ACI Committee 440, "Guide for The Design and Construction of Externally Bonded FRP Systems for Strengthening Concrete Structures", ACI Technical Report, (2002).
4. Mostofinejad, D., "An overview on FRP reinforced concrete as a corrosion resistant element in off-shore structures", *Proc. of 4th Int. Con. on Costs, Ports and Marine Structures, ICCPMAS 2000, Iran, Nov.*, (2000).
5. Khalifa, A., Alkhradji, T., Nanni, A., and Landberg, S., "Anchorage of surface mounted FRP reinforcement", *Conc. Int.*, 21(10), pp. 49-54, (1999).
6. Barros, J. A. O., and Fortes, A. S., "Flexural strengthening of concrete beams with CFRP laminates

- bonded into slits", *Cem. and Conc. Comp.*, 27, pp. 471-480, (2005).
7. Apslund, S. Q., "Strengthening bridge slabs with grouted reinforcement" *ACI Struct. J.*, 52(6), pp. 397-406, (1949).
 8. Hajjhashemi, A., Mostofinejad, D., and Azhari, M, "Strengthening of RC structures using anchored prestressed near surface mounted FRP bars", *Proc. of ECCOMAS Thematic Conf. on Computational Methods in Structural and Earthquake Engineering*, pp. 1023-1035, Greece, June, (2007).
 9. De Lorenzis, A., and Nanni, A., "Shear strengthening of reinforced concrete beams with near surface mounted FRP bars", *ACI Struct. J.*, 98(1), pp. 60-68, (2001).
 10. De Lorenzis, A., and Teng, G. J., "Near surface FRP reinforcement: an emerging technique for strengthening structures", *Comp. Part B: Eng.*, 38, pp. 119-143, (2007).
 11. Micelly, F., La Tegola, A., and Myers, J. J., "Environmental effects on RC beams with near surface mounted FRP rods", *Proc. of 6th Int. Symp. on FRP Reinforcement for Concrete Structures, FRPRCS-6, Vol. 2*, pp. 749-758, Singapore, July, (2003).
 12. Carolin, A., Hordin, H., and Taljsten, B., "Concrete beams strengthened with near surface mounted reinforcement of CFRP", *Proc. of Int. Conf. on FRP Composites In Civil Eng., CICE, Vol. 2*, pp. 1059-1066, Hong Kong, China, Dec., (2001).
 13. Tang, W. C., Balendran, R. V., Nadeem, A., and Leung, H. Y., "Flexural strengthening of reinforced light weight polystyrene aggregate concrete beams with near surface mounted GFRP bars", *Build. and Envir.*, 41, pp.1381-1393, (2006).
 14. Barros, J. A. O., Ferreira, D. R. S., Fortes, A. S., and Dias, S. J. E., "Assessing the effectiveness of embedding CFRP laminates in the near surface for structural strengthening", *Const. and Build. Mat.*, 20, pp. 478-491, (2006).
 15. Foret, G., and Limam, O., "Experimental and numerical analysis of RC two-way slabs strengthened with NSM CFRP rods", *Const. and Build. Mat.*, 22, pp. 80-86, (2006).
 16. Tumialan, G., Nanni, A., and Busel, J., "Retrofitting techniques for seismic upgrade of unreinforced masonry (URM) structures", e-article: GoStructural.com, ID=224, (2006).
 17. Badavi, M., Vahab, N., and Soudki, Kh., "Evaluation of the transfer length of prestressed near surface mounted CFRP rods in Concrete", *Const. and Build. Mat.*, 25, pp. 1474-1479, (2012).
 18. Nordin, H., and Taljsten, B., "Concrete beams strengthened with prestressed NSM CFRP", *ASCE J. of Comp. for Const.*, 10(1), pp. 60-68, (2006).
 19. El Hacha, R., Wight, R. G., and Green, M. F., "Innovative system for prestressing FRP sheets", *ACI Struct. J.*, 100(3), pp.305-315, (2003).
 20. Carolin, A., Carbon Fiber Reinforced Polymers for Strengthening of Structural Elements, Doctoral Theses, Lulea University of Technology, Lulea, Sweden, (2000).
 21. Garden, H. N., and Hollaway, L. C., "An experimental study of the failure modes of reinforced concrete beams strengthened with carbon composite plates", *Comp. Part B: Eng.*, 29, pp. 411-424,

- (1998).
22. Triantafillou, T. C., and Deskovic, N., "Innovative prestressing with FRP sheets: mechanics of short-term behavior" *J. of Eng. Mech.*, 117, pp. 1652-1672, (1991).
 23. De Lorenzis, L., Nanni, A., and La Tegola, A., "Flexural and shear strengthening of reinforced concrete structures with near surface mounted FRP rods", *Proc. of the 3rd Int. Conf. on Advanced Composite Materials In Bridges and Structures*, CSCE, pp. 521-528, Ottawa, Canada, (2000).
 24. El-Hacha, R., Wight, G., and Green, M., "Long-term behavior of concrete beams strengthened with prestressed CFRP sheets at room and low temperatures", *Proc. of Conf. on Concrete under Severe Conditions-Environmental and Loading*, pp. 1817-1826, UBC, Vancouver, Canada, (2001).
 25. Meier, U., and Stocklin, I., "Computer controlled adhesion of prestressed CFRP strips", *Proc. of Beijing Bonding Technology Symp.*, pp. 041/2-041/5, China, (2004).
 26. Wight, G., and Erki, M. A., "Prestressed CFRP for strengthening concrete slabs in fatigue" *Proc. of Int. Conf. On FRP Composites in Civil Engineering*, University of Hong Kong, Hong Kong, (2001).
 27. Wight, G., and Erki, M. A., "CFRP strengthening of severely damaged reinforced concrete slabs", *Proc. of Conf. on Concrete under Severe Conditions-Environmental and Loading*, pp. 2191-2198, UBC, Vancouver, Canada, (2001).
 28. Triantafillou, T. C., Deskovic, N., and During, M., "Strengthening of concrete structures with prestressed fiber reinforced plastic sheets", *ACI Struct. J.*, 89(3), pp. 235-244, (1992).
 29. Saadatmanesh, H., and Ehsani, M., "RC beams strengthened with GFRP plates: Part I: experimental study", *ASCE J. of Comp. for Const.*, 117(11), pp. 3417-3433, (1991).
 30. Wight, G., Green, M., and Erki, M. A., "Prestressed FRP Sheets for post-strengthening Reinforced Concrete Beams", *ASCE J. of Comp. for Const.*, 5(4), pp. 214-220, (2001).
 31. Badavi, M., and Soudki, Kh., "Flexural strengthening of RC beams with prestressed NSM CFRP rods - experimental and analytical investigation", *Const. and Build. Mat.*, 23, pp. 3292-3300, (2009).
 32. ACI Committee 209, "Prediction of Creep, Shrinkage, and Temperature Effects in Concrete Structures", American Concrete Institute, Farmington Hills, Michigan, (2002).
 33. ASTM A370-96, "Standard Test Methods and Definitions for Mechanical Testing of Steel Products", Annual Book of ASTM Standard, Vol. 01.05, pp. 381-384, (1997).
 34. ASTM D3039-95a, "Standard Test Method for Tensile Properties of Polymer Matrix Composite Materials", Annual Book of ASTM Standard, Vol. 13.03, pp. 98-108, (1997).
 35. ACI Committee 440, "Guide for the Design and Construction of Externally Bonded FRP Systems for Strengthening Concrete Structures", American Concrete Institute, Farmington Hills, Michigan, (2002).
 36. Oudah, F., and Raafat, E.H., "A new ductility model of reinforced concrete beams strengthened using fiber reinforced polymer reinforcement", *Comp. Part B: Eng.*, 43, pp. 3238-3347, (2012).